

## اثر نسبت لاغری بر رفتار صفحات برشی آلومینیومی و فولادی

زهرا علی‌عرب، سید علی اصغر حسین زاده\*

دانشکده فنی و مهندسی، دانشگاه گلستان، گرگان، ایران.

### تاریخچه داوری:

دریافت: ۱۳۹۹/۰۸/۰۵

بازنگری: ۱۴۰۰/۰۲/۱۸

پذیرش: ۱۴۰۰/۰۷/۰۵

ارائه آنلاین: ۱۴۰۰/۰۸/۰۲

### کلمات کلیدی:

صفحات فلزی

تسليیم

کمانش

المان محدود

تحلیل چرخه‌ای

**خلاصه:** از صفحات فلزی فولادی و آلومینیومی به صورت گستردۀ در ساخت سازه‌های جدار نازک در شاخه‌های مختلف مهندسی، به ویژه مهندسی عمران، استفاده می‌شود. تحقیق حاضر با استفاده از روش المان محدود تاثیر وقوع کمانش و تسليیم را در خصوصیات رفتار خطی/غیرخطی و قابلیت جذب انرژی صفحات برشی فلزی با نسبت‌های لاغری مختلف مورد مطالعه قرار می‌دهد. دو نوع مصالح کاربردی فولادی، شامل فولاد کربن‌دار و فولاد با تنفس تسليیم پایین، و یک نوع آلیاژ آلومینیوم برای صفحات فرض می‌شود. از نتایج تحلیل‌های استاتیکی غیرخطی به منظور: - تقسیم‌بندی صفحات در پنج محدوده رفتاری پیشنهادی (بسیار لاغر، لاغر، متوسط، ضخیم، بسیار ضخیم)، - ارائه روابط ریاضی جهت مرزبندی و تخمین بار کمانشی، و - تشرییح خصوصیات صفحات هر محدوده رفتاری در ارتباط با منحنی‌های رفتار، نحوه توسعه تنش‌ها و دامنه‌های رفتار خطی/غیرخطی در طول بارگذاری استفاده می‌شود. نتایج تحلیل‌های چرخه‌ای نیز نشان می‌دهد که قابلیت جذب انرژی صفحات در محدوده‌های بسیار ضخیم، ضخیم و متوسط، متأثر از تنفس تسليیم و مدول الاستیستیته اولیه مصالح است، در حالی که در محدوده لاغر، به ویژه برای نسبت‌های لاغری بزرگ‌تر، از تاثیرگذاری پارامتر تنفس تسليیم کاسته، و نقش مدول الاستیستیته اولیه مصالح پرنگ‌تر می‌شود. در محدوده بسیار لاغر نیز به نظر می‌رسد که مدول‌های الاستیستیته اولیه و ثانویه مصالح نقش موثرتری در قابلیت جذب انرژی صفحات داشته باشد.

### ۱- مقدمه

و الگوی بارگذاری صفحات مرتبط است. به صورت خاص، رفتار بک صفحه با ابعاد (طول و عرض)، شرایط مرزی و جنس معلوم، و تحت یک شرایط بارگذاری مشخص، تحت تاثیر نسبت لاغری (نسبت ضخامت به بعد صفحه) آن قرار دارد و بسته به آن، خصوصیات باربری صفحه می‌تواند تغییر کند. صفحات بسته به نقش‌شان در سازه اصلی، در محدوده وسیعی از نسبت‌های لاغری، از لاغری‌های کم یا بسیار کم [۱۰-۱۳] تا لاغری‌های متوسط، زیاد یا بسیار زیاد [۲۰-۲۴] مورد استفاده قرار می‌گیرند. آینین‌نامه آشتو [۲۱]، در یک تقسیم‌بندی کلی با لحاظ اثرات جنس و شرایط مرزی صفحات، بر این اساس که وقوع کمانش در کدام یک از محدوده‌های رفتاری الاستیک، غیراسترجاعی یا پلاستیک اتفاق می‌افتد، صفحات را با توجه به لاغری‌شان به سه محدوده کلی لاغر، متوسط و ضخیم تقسیم‌بندی کرده و برای هر یک از محدوده‌ها، روابطی برای تخمین ظرفیت کمانش برشی ارائه کرده است. هر چند که بر اساس پژوهش‌های انجام شده، انجام مطالعات بیشتر در این

از صفحات فلزی فولادی و آلومینیومی به صورت گستردۀ در ساخت سازه‌های جدار نازک<sup>۱</sup> در صنایع مختلف مهندسی، به ویژه مهندسی عمران، استفاده می‌شود. استفاده از صفحات فولادی در ساخت پل‌ها، تیورق‌ها و ستون‌های جعبه‌ای، صفحه داخلی دیوار برشی فولادی، ورق چشمۀ اتصال تیر به ستون و جان تیرهای همبند<sup>۲</sup> [۱-۳] بسیار معمول است. همچنین، از صفحات آلومینیومی نیز در ساخت مقاطع تیر و ستون‌ها و یا به صورت سخت شده به عنوان جاذب انرژی زلزله (میراگر تسليیمی) در مناطق لرزه‌خیز استفاده می‌شود [۴-۹]. در حالت کلی، خصوصیات رفتاری صفحات در طول بارگذاری تحت تاثیر وقوع دو پدیده کمانش و تسليیم است. کیفیت و زمان وقوع پدیده‌های تسليیم و کمانش نیز با مشخصات هندسی و مکانیکی (جنس)، شرایط مرزی

1 Thin-walled structures

2 Link beam

\* نویسنده عهددار مکاتبات: ahsosseinzade@gmail.com

حقوق مؤلفین به نویسنده‌گان و حقوق ناشر به انتشارات دانشگاه امیرکبیر داده شده است. این مقاله تحت لیسانس آفرینندگی مردمی (Creative Commons License) در دسترس شما قرار گرفته است. برای جزئیات این لیسانس، از آدرس <https://www.creativecommons.org/licenses/by-nc/4.0/legalcode> دیدن فرمائید.



$$\tau_{cr} = \frac{0.9EK}{\lambda^2};$$

$$\lambda > y \sqrt{\frac{EK}{\sigma_y}} \text{ and } y = 1.4 \quad (2)$$

$$\tau_{cr} = \frac{0.65\sqrt{EK\sigma_y}}{\lambda};$$

$$x \sqrt{EK\sigma_y} < \lambda \leq y \sqrt{EK\sigma_y} \text{ and}$$

$$x = 1.12 \text{ and } y = 1.4 \quad (3)$$

$$\tau_{cr} = 0.58\sigma_y;$$

$$\lambda \leq x \sqrt{\frac{EK}{\sigma_y}} \text{ and } x = 1.12 \quad (4)$$

$$\lambda = \frac{b}{t} \text{ and } \beta = \lambda \sqrt{\frac{\sigma_y}{E}} \quad (5)$$

### ۱-۳- پیشینه تحقیق

صفحات در بسیاری از سازه‌های مهندسی عمران تحت شرایط بارگذاری خالص برشی و یا تاثیر غالب آن در ترکیب با سایر انواع بارگذاری‌ها قرار می‌گیرند [۲۳-۲۵]. عمدۀ تحقیقات گذشته در زمینه بارگذاری برشی به مطالعه رفتار کلی، پایداری و ارزیابی ظرفیت‌های کمانشی (کلی یا موضعی) و نهایی صفحات لاغر (تقویت شده یا نشده، با یا بدون بازشو)، با تمرکز بر یک یا چند صفحه با نسبت لاغری مشخص و یا بر روی یک دامنه بسیار محدود از نسبت‌های لاغری، معطوف شده‌اند [۲۶، ۲۳-۲۵].

پژوهشگران مختلفی با استفاده از روش‌های عددی و آزمایشگاهی، ظرفیت نهایی، شکل‌پذیری و قابلیت جذب انرژی دیوارهای برشی فولادی نازک (سخت نشده) را مورد مطالعه قرار دادند [۳۳، ۳۶، ۲۶، ۲۰ و ۱۳]. نتایج تحقیقات عددی و آزمایشگاهی رضایی و همکاران [۳۵ و ۳۴] بر روی رفتار قاب خمی تقویت شده با ورق فولادی نشان داد که استفاده از ورق سبب افزایش قابل توجه شکل‌پذیری نمونه‌ها می‌شود. چن و ژانگ [۳۶] و دی‌ماتیس و همکاران [۳۷] استفاده از مزایای فولاد با تنفس تسليیم پایین را به ترتیب در سیستم دیوار برشی فولادی و پانل سخت شده به عنوان

زمینه به منظور بررسی دقت و دامنه کاربرد روابط ارائه شده برای مصالح و نسبت‌های لاغری مختلف ضروری می‌نماید [۲۲ و ۲].

### ۱-۱- تقسیم‌بندی صفحات با توجه به معیار لاغری

آینه نامه آشتو [۲۱] رفتار صفحات تحت بارگذاری برشی را با توجه به موقع پدیده کمانش در آن‌ها در سه دسته کلی لاغر، متوسط و ضخیم تقسیم‌بندی می‌کند. بر این اساس، در صفحات لاغر (کمانش ارجاعی)، ظرفیت کمانش برشی ورق ( $V_{Cr}$ ) کوچک‌تر از ظرفیت برشی حد خطی (تناسب) آن ( $V_p = b \times t \times \tau_p$ ) است ( $V_p = b \times t \times \tau_p$  عرض یا بعد کوچک‌تر ورق،  $\tau$  ضخامت ورق،  $\tau$  تنفس برشی حد خطی). در صفحات متوسط (کمانش غیرارجاعی)، ظرفیت کمانش برشی ورق ( $V_{Cr}$ ) بین ظرفیت برشی ( $V_y = b \times t \times \tau_y$ ) و ظرفیت اسمی تسليیم برشی ( $V_p = b \times t \times \tau_p$ ) قرار می‌گیرد ( $\tau_y$  تنفس برشی حد خطی). در صفحات ضخیم (کمانش پلاستیک) نیز ظرفیت کمانش برشی ورق ( $V_{Cr}$ ) بزرگ‌تر از ظرفیت اسمی تسليیم برشی آن ( $V_y$ ) است.

### ۱-۲- کمانش برشی

ظرفیت کمانش برشی صفحات در حالت الاستیک با فرض شرایط مرزی ساده از رابطه کلاسیک (۱) محاسبه می‌گردد. در رابطه (۱)، پارامتر  $K$  ضریب بارگذاری است که تابع شرایط تکیه‌گاهی و نسبت ابعادی صفحات ( $\varphi = a/b$ ) است ( $a$  طول یا بعد بزرگ‌تر ورق). با توجه به رابطه (۱)، ضریب کمانش برشی در صفحات مربعی شکل با نسبت ابعادی واحد، برای شرایط مرزی ساده معادل با  $9/34$  محاسبه می‌گردد. آینه نامه آشتو [۲۱] دامنه تغییرات نسبت لاغری و همچنین ظرفیت کمانشی را برای هر یک از محدوده‌های لاغر (کمانش ارجاعی)، متوسط (کمانش غیرارجاعی) و ضخیم (کمانش پلاستیک) به ترتیب مطابق با روابط (۲)، (۳) و (۴) پیشنهاد می‌دهد. نسبت لاغری ( $\lambda$ ) و پارامتر لاغری ( $\beta$ ) نیز بر اساس رابطه (۵) تعریف می‌شوند.

$$V_{Cr} = \frac{K\pi^2 E}{12(1-\nu^2)} \left(\frac{t}{b}\right)^2 \times bt; \quad (1)$$

simple support:

$$K = 5.34 + \frac{4}{\varphi^2} \text{ and } \varphi = \frac{a}{b} \geq 1$$

لاغر با با نسبت‌های لاغری مشخص (و یا در محدوده مشخصی از نسبت لاغری) صورت گرفته‌اند. در محدوده صفحات متوسط و ضخیم نیز مطالعه جامع رفتار و قابلیت جذب انرژی صفحات در این محدوده‌ها با استفاده از تحلیل‌های چرخه‌ای و استاتیکی غیرخطی به طور همزمان کمتر مورد توجه بوده است. همچنین، در تحقیقات گذشته به صورت خاص در مورد مرزبندی و مشخصه‌های رفتاری صفحات در نسبت‌های لاغری بسیار بزرگ [۳۳]، [۲۶، ۲۰ و ۱۷-۲۰] و بسیار کوچک [۱۰-۱۲]، علی‌رغم کاربردهای موجود، کمتر صحبت شده است. به علاوه، همان‌طور که در قسمت‌های قبلی اشاره شد، مطالعات گذشته [۲۲ و ۱] به وجود اختلاف بین نتایج مرزبندی محدوده‌ها در آشتو و نتایج تحلیل‌های المان محدود برای صفحات فلزی با جنس‌های مختلف اشاره داشته‌اند. همچنین برای محدوده‌های متوسط یا ضخیم نیز بین نتایج ظرفیت کمانشی صفحات فلزی مختلف از روابط آشتو و تحلیل‌های المان محدود نیز اختلاف مشاهده شده است [۵۰ و ۲۲].

با توجه به مطالب بالا، تحقیق حاضر با استفاده از روش المان محدود تاثیر وقوع کمانش و تسليم رفتار خطی/غیرخطی و قابلیت جذب انرژی صفحات برشی فلزی با نسبت‌های لاغری مختلف مورد مطالعه قرار می‌دهد. دو نوع مصالح کاربردی فولادی (فولاد کربن دار<sup>۱</sup>) (CS) و فولاد با تنفس تسليم پایین<sup>۲</sup> (LYP160) و یک نوع آلیاژ آلومینیوم (AL) برای صفحات فرض می‌شود. در نظر گرفتن چند نوع مصالح فلزی با خصوصیات مکانیکی مختلف، علاوه بر کاربرد اختصاصی نتایج به دست آمده برای هر نوع خاص، درک بهتری را از میزان تاثیرگذاری پارامترهای مختلف مکانیکی مصالح در رفتار صفحات و امکان تعمیم نتایج به دست آمده برای فلزی دیگر فراهم می‌آورد. در ابتدا، صفحات فلزی مختلف با توجه به ویژگی‌های رفتاری‌شان در ارتباط با وقوع کمانش و تسليم در پنج محدوده پیشنهادی بسیار لاغر، لاغر، متوسط، ضخیم و بسیار ضخیم مشخصه‌گذاری و دسته‌بندی می‌شوند. سپس، با مطالعه آماری نتایج آنالیزهای عددی صفحات مختلف، ضمن مقایسه با روابط نظری موجود [۲۱]، روابط جدیدی جهت تعیین دقیق‌تر دامنه تغییرات لاغری در هر یک از محدوده‌های پنج گانه برای هر یک از مصالح فلزی ارائه می‌شود. به علاوه، امکان ارائه روابط جدیدی جهت تخمین دقیق‌تر بار کمانشی صفحات مختلف در محدوده‌های متوسط و ضخیم بررسی می‌شود. در انتهای نیز تاثیر جنس و نسبت لاغری صفحات در قابلیت استهلاک انرژی آن‌ها تحت بارگذاری چرخه‌ای به طور کیفی و کمی مورد تحلیل و بررسی قرار می‌گیرد.

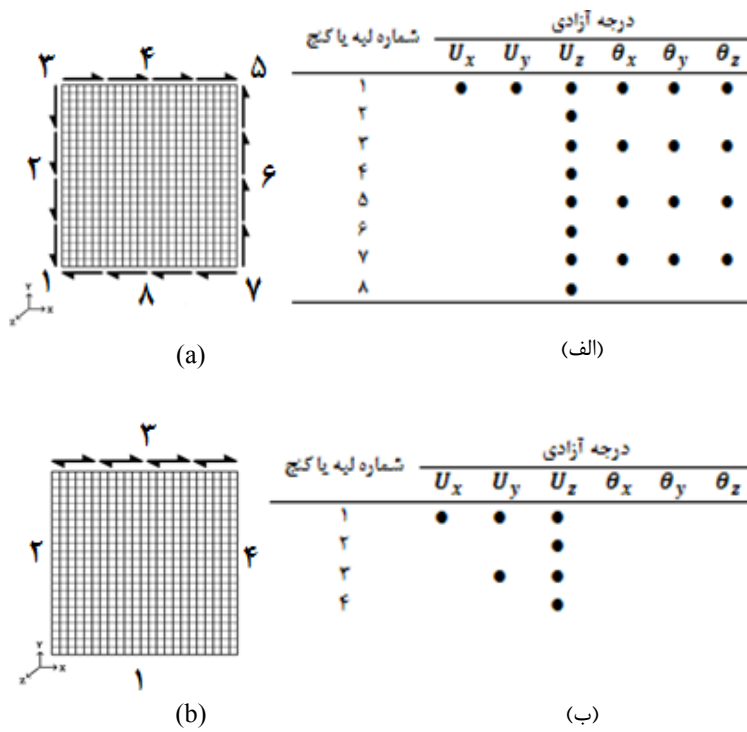
<sup>1</sup> Structural mild steel<sup>2</sup> Low yield point steel

جادب انرژی پیشنهاد و مطالعه کردند. علی‌نیا و دستفان [۲۶] و علی‌نیا و همکاران [۲۷] تاثیر استفاده از سخت کننده در بهبود قابلیت جذب انرژی صفحات و همچنین، الگوی گسترش و توسعه تنش‌ها و تسليم در سطح صفحات لاغر را بررسی کردند. براندو و دی‌ماتیس [۳۸] قابلیت جذب انرژی پانل‌های برشی آلومینیومی نازک سخت شده را با استفاده از تحلیل عددی و آزمایشگاهی مورد مطالعه قرار دادند. محققان دیگر نیز رفتار صفحات برشی فولادی یا آلومینیومی نازک سخت شده را تحت تاثیر حضور بازشویان مختلف [۳۹، ۳۰ و ۲۹] و یا ترک‌ها [۴۰ و ۳۱] و یا مطالعه کردند.

در مقایسه با صفحات لاغر تحت بارگذاری برشی، سرعت رشد مطالعات در زمینه صفحات ضخیم‌تر به طور نسبی کند بوده است [۴۱]. اولین مطالعات در زمینه رفتار صفحات ضخیم و وقوع کمانش پلاستیک در آن‌ها از حدود هفت دهه پیش آغاز شد [۴۲-۴۴]. محققان مختلفی تحت بارگذاری‌های فشاری [۴۵، ۴۶ و ۴۱] و برشی [۴۷ و ۴۸] این تحقیقات را ادامه دادند. در سال‌های اخیر نیز قیطاسی و علی‌نیا [۲] و علی‌نیا و همکاران [۱]، کمانش برشی پلاستیک را در صفحات ضخیم با استفاده از روش تحلیل استاتیکی غیرخطی در نرم‌افزار المان محدود و بر اساس مدل رفتاری اسکود-رامبرگ برای دامنه مشخصی از نسبت‌های لاغری (۴۰ تا ۳۲۵) مورد بررسی قرار دادند و صفحات را با توجه به لاغری و رفتار کمانشی‌شان، به سه دسته لاغر، متوسط و ضخیم تقسیم‌بندی کردند. نتایج این پژوهش‌ها نشان داد که، به ویژه برای صفحات رده متوسط، تا حدی بین نتایج تقسیم‌بندی آشتو و نتایج المان محدود اختلاف وجود دارد. مطالعات اولیه انجام شده توسط نویسنده برای دامنه محدودی از نسبت لاغری نیز این موضوع را تایید می‌کند [۲۲]. همچنین، زانگ و همکاران [۴۹] نیز با استفاده از روش آزمایشگاهی کمانش برشی فولاد با تنفس تسليم پایین را با لحاظ اثر تغییر شکل‌های پلاستیک مورد مطالعه قرار دادند. در آزمایش‌ها، بارگذاری برشی با اعمال گشتاور پیچشی به دو سمت نمونه‌های استوانه‌ای فولادی صورت گرفت. با توجه به نتایج، محققان نسبت عرض به ضخامت ۱۲ را به عنوان نسبت بحرانی عرض به ضخامت از نقطه نظر وقوع تغییر شکل‌های پلاستیک برای فولاد با تنفس تسليم پایین پیشنهاد دادند.

#### ۱-۴- ضرورت و اهداف تحقیق

همان‌طور که در مطالعات قبلی اشاره شده است، صفحات فلزی، با جنس‌ها و نسبت‌های لاغری مختلف، کاربرد گسترده‌ای در سازه‌های مهندسی عمران دارند. مطالعات انجام شده در گذشته عمدتاً بر روی صفحات



شکل ۱. الگوی بارگذاری‌های برشی و شرایط تکیه‌گاهی صفحات، (الف): در تحلیل‌های خطی کمانشی و استاتیکی غیرخطی (پوش اور)، (ب): در تحلیل‌های سیکلی

Fig. 1. Shear loading and support conditions used for, (a): linear buckling and nonlinear static analyses, (b): cyclic analyses

ساده انجام می‌شود. شکل ۱ شرایط تکیه‌گاهی و الگوی بارگذاری برشی را برای تحلیل‌های خطی/غیرخطی استاتیکی و چرخه‌ای نشان می‌دهد. همان‌طور که مشاهده می‌شود، در تحلیل‌های استاتیکی از طریق اعمال نیرو در چهار وجه ورق با الگوی برشی برای ایجاد شرایط بارگذاری خالص برشی در صفحات استفاده گردید. بدین ترتیب امکان جابه‌جایی یا دوران آزاد اضلاع صفحه نسبت به یکدیگر تحت بارهای برشی فراهم است [۱]. همچنین، در تحلیل‌های چرخه‌ای، با توجه به ماهیت تحلیل‌ها که با اعمال و کنترل جابه‌جایی‌های (به جای نیرو) رفت و برگشتی در سیستم همراه است و عملکرد ایجاد شرایط بارگذاری خالص برشی در صفحه تا حدی دشوار است، بارگذاری برشی با اعمال جابه‌جایی‌های افقی رفت و برگشتی در لبه فوقانی ورق لحاظ گردید.

به جهت مدل‌سازی از المان پوسته‌ای<sup>۲</sup> با خاصیت انگشتگرال گیری کاهش یافته (S4R) استفاده می‌شود [۵۱]. مطالعات اولیه انجام شده توسط

## ۴- روشن مطالعه

در این پژوهش به جهت شناخت ویژگی‌های رفتاری و باربری صفحات مختلف تحت الگوی بارگذاری برشی، بالغ بر ۱۱۰ صفحه مربع شکل آلومینیومی و فولادی با ابعاد ثابت ( $1000 \times 1000$  میلی‌مترمربع) و نسبت‌های لاغری مختلف با استفاده از نرم‌افزار المان محدود آباکوس [۵۱] مورد مطالعه قرار می‌گیرند. در کاربردهای متعارف، پانل‌های مستطیلی بلند (با نسبت طول به عرض بزرگ) معمولاً توسط سخت کننده‌های عرضی به زیرپانل‌های<sup>۱</sup> مربعی شکل تقسیم می‌شوند [۱۱]. در تحلیل صفحات از روش‌های تحلیل خطی کمانشی، غیرخطی استاتیکی و شبیه-استاتیکی چرخه‌ای استفاده می‌شود. مطالعات برای سه جنس مختلف از مصالح متعارف و نسبتاً پرکاربرد فلزی، شامل دو نوع مصالح فولادی (فولاد کربندار CS)، و فولاد با تنفس تسليیم پایین (LYP160) و یک نوع مصالح آلومینیومی (Al) برای دامنه وسیعی از نسبت‌های لاغری ( $\lambda = 10 \sim 2200$ ) و با فرض شرایط مرزی

<sup>1</sup> Sub-panel

## جدول ۱. مشخصات مکانیکی مصالح مورد مطالعه [۲ و ۵۲]

Table 1. Different material properties used in this study [2, 52]

نوع مصالح	$E$ (GPa)	$E_t$ (GPa)	$\sigma_p$ (MPa)	$\sigma_y$ (MPa)	$\tau_p$ (MPa)	$\tau_y$ (MPa)	$V$
(AL) آلومینیوم	۷۱/۷	.۰/۶	۴۲۸	۵۰۳/۲	۲۴۷/۱	۲۹۰/۵	.۰/۳۵
(LYP160) فولاد با تنش تسلیم پایین	۲۰۰	۳/۸	۱۰۶/۲	۱۶۰	۶۱/۳	۹۲/۴	.۰/۳
(CS) فولاد کربن دار	۲۱۰	۱/۴	۳۳۰	۳۴۵	۱۹۰/۵	۱۹۹/۲	.۰/۳

## ۳- بحث و بررسی نتایج

## ۳-۱- تحلیل‌های خطی/غیرخطی استاتیکی

در این بخش، با مطالعه محدوده وسیعی از نسبت‌های لاغری مورد کاربرد، علاوه بر سه محدوده رفتاری کلاسیک (лагر، متوسط و ضخیم)، دو محدوده بسیار لاغر و بسیار ضخیم نیز، با توجه به کاربردشان، پیشنهاد و مورد بررسی قرار می‌گیرد. در صفحات بسیار لاغر ظرفیت کمانش برشی ورق ( $v_{cr}$ ) در مقایسه با ظرفیت نهایی ( $v_u$ ) آن بسیار ناچیز فرض می‌شود ( $v_{cr} \leq 0.1 \times v_u$ ). در صفحات بسیار ضخیم نیز اصولاً کمانش رخ نمی‌دهد و اصطلاحاً، ظرفیت کمانشی ( $v_{cr}$ ) صفحه به صورت نظری بسیار بزرگ‌تر از ظرفیت نهایی ( $v_u$ ) آن لحظات می‌شود ( $v_u \gg v_{cr}$ ).

## ۳-۱- خصوصیات کلی رفتار صفحات

در این قسمت، در زمینه خصوصیات کلی باربری صفحات فلزی با توجه به نمونه منحنی‌های بار- جایه‌جایی درون صفحه<sup>۳</sup> و خارج از صفحه<sup>۴</sup> (شکل ۲) برای هر یک از محدوده‌های پیشنهادی پنج گانه (بسیار لاغر (VS)، لاغر (S)، متوسط (M)، ضخیم (T) و بسیار ضخیم (VT)) با اختصار صحبت می‌شود. به جهت امکان مقایسه، نقاط مرتبط با لحظه وقوع کمانش ( $V_{cr}$ ، اولین تسلیم ( $V_{fj}$ ) و ظرفیت نهایی ( $v_u$ ) صفحات نیز در شکل ۲ مشخص شده است. با توجه به نتایج:

- صفحات بسیار لاغر: ظرفیت کمانشی بسیار ناچیز، و ظرفیت پس از کمانش قابل توجهی دارند. با وقوع اولین تسلیم، سختی خود را تدریجاً از

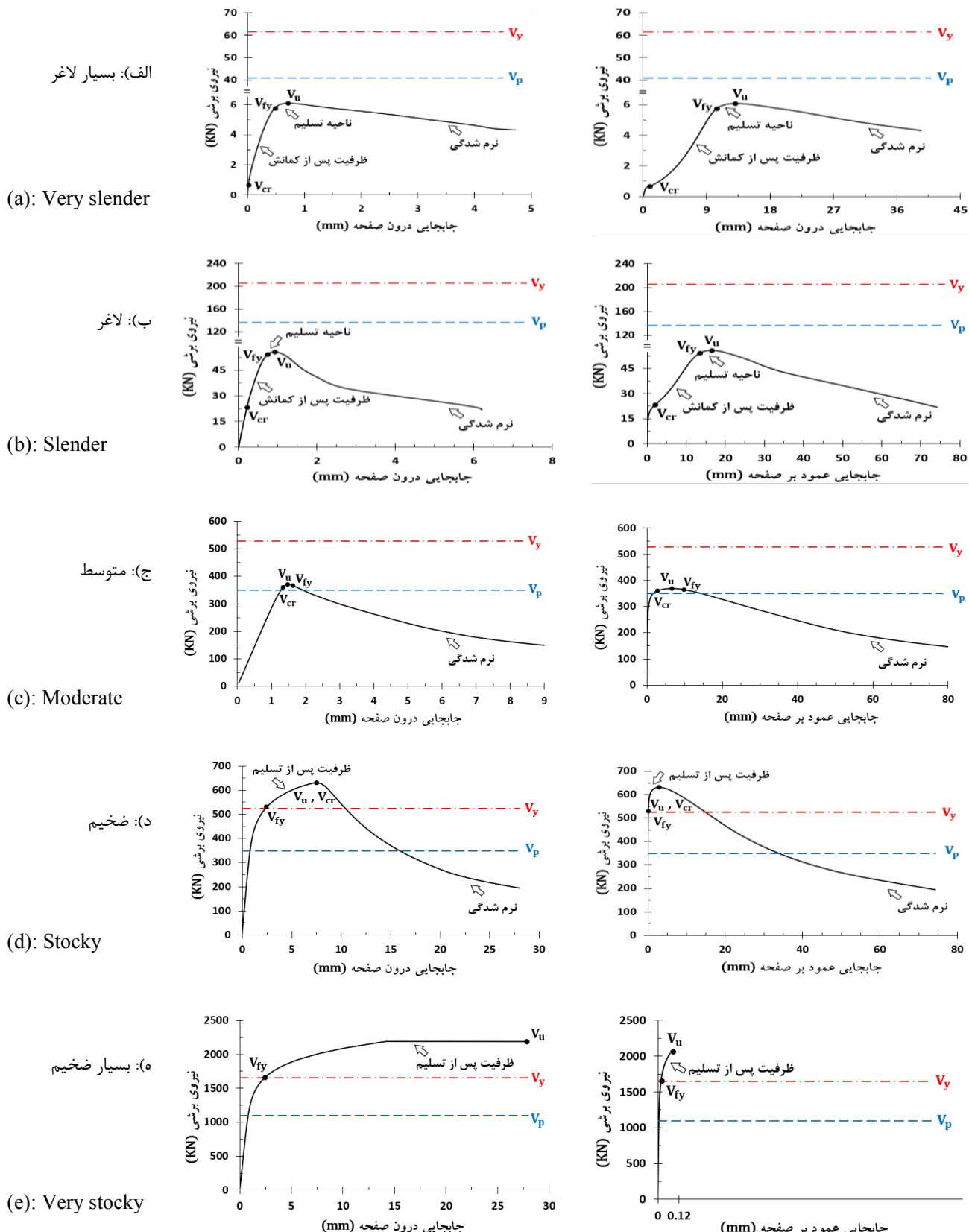
نویسنده‌گان اختلاف چندانی را در نتایج تحلیل صفحات مختلف با استفاده از المان پوسته‌ای در مقایسه با المان حجمی<sup>۱</sup> نشان نداد. مشابه با مطالعات قبلی انجام شده توسط نویسنده [۳۲، ۳۱، ۳۳ و ۲۲]، حداکثر بعد مشبنده در مدل‌ها با توجه به نتایج آنالیز حساسیت و صحبت‌سنجی (که در اینجا به جهت اختصار از تکرار آن صرف نظر می‌شود) معادل با ۲۰ میلی‌متر (مشبنده ۵۰ در ۵۰) به دست آمد. البته در قسمت‌های بعدی، از طریق مقایسه نتایج تنش بحرانی کمانشی به دست آمده از تحلیل المان محدود با نتایج روابط تئوری موجود، صحبت روشن مدل‌سازی و نتایج به دست آمده از نرم‌افزار به طور ضمنی تایید خواهد شد. با هدف تسهیل وقوع کمانش در صفحات و کمک به توسعه میدان کششی قطری در آن‌ها، نقص یا تغییر شکل اولیه<sup>۲</sup> بسیار کوچکی در جهت عمود بر صفحه مطابق با مود اول کمانشی آن در نظر گرفته می‌شود [۲۳ و ۲]. بیشینه مقدار این تغییر شکل اولیه معادل با ۰/۰۵ میلی‌متر، به گونه‌ای در نظر گرفته شده است که تاثیر قابل توجهی بر نتایج به دست آمده از تحلیل‌های المان محدود نگذارد. لازم به ذکر است که در تحلیل‌های غیرخطی از منحنی‌های اسگود-رامبرگ که بر اساس خصوصیات مکانیکی مصالح مختلف مورد مطالعه (مدول الاستیسیته خطی ( $E$ )، مدول الاستیسیته ثانویه ( $E_t$ )، تنش‌های نرمال حد خطی ( $\sigma_p$ ) و حد تسلیم ( $\sigma_y$ )، تنش‌های برشی حد خطی ( $\tau_p$ ) و حد تسلیم ( $\tau_y$ ) و حد تسلیم پوآسون ( $V$ )) تعریف می‌شود، استفاده می‌گردد (جدول ۱ را ببینید).

3 In-plane

4 Out of plane

1 Solid

2 Initial imperfection



شکل ۲. الگوهای کلی منحنی‌های رفتار صفحات

Fig. 2. General behavior of shear panels in different slenderness ratio classes

### ۳-۱-۲- تقسیم‌بندی صفحات با توجه معیار لاغری

به جهت مقایسه کمی نتایج، جداول ۲ تا ۴ خلاصه نتایج تحلیل‌های غیرخطی استاتیکی صفحات آلومینیومی و فولادی را برای شماری از لاغری‌ها ارائه می‌کند. با توجه به نتایج، در صفحات بسیار ضخیم در طول بارگذاری کمانش روی نمی‌دهد. ظرفیت بیشینه صفحات در این محدوده، بسته به نوع مصالح (نسبت مدول الاستیستیه ثانویه به اولیه)، تا حد مشخصی بزرگ‌تر از ظرفیت اسمی تسليیم برشی آن می‌شود (برای فولاد با تنش تسليیم پایین، فولاد کربن‌دار و آلومینیوم به ترتیب معادل با  $1/26$ ،  $1/08$  و  $1/04$ ). در صفحات ضخیم، کمانش پلاستیک، فراتر از ظرفیت اسمی تسليیم برشی، هم‌زمان با رسیدن ورق به بیشینه مقاومت خود اتفاق می‌افتد. بنابراین در این محدوده، نسبت مقاومت ورق به ظرفیت اسمی تسليیم برشی آن، بسته به نوع مصالح، تا حدی بزرگ‌تر از واحد است، لیکن با افزایش نسبت لاغری، برای مصالح مختلف، به سمت مقدار واحد میل می‌کند (برای فولاد با تنش تسليیم پایین، فولاد کربن‌دار و آلومینیوم به ترتیب بین  $1-1/26$ ،  $1-1/08$  و  $1-1/04$ ). در صفحات متوسط، ظرفیت کمانشی ورق در بین ظرفیت برشی حد تنااسب و ظرفیت اسمی تسليیم برشی آن قرار می‌گیرد و با وجود کمانش (غیرارتجاعی)، صفحه به حداقل مقاومت خود می‌رسد. بنابراین در این محدوده، نسبت مقاومت به ظرفیت اسمی تسليیم برشی ورق، با افزایش نسبت لاغری، از مقدار یک تا حد مشخصی کاهش می‌یابد (برای فولاد با تنش تسليیم پایین، آلومینیوم و فولاد کربن‌دار به ترتیب بین  $0-1/68$ ،  $0-1/87$  و  $0-1/96$ ). در صفحات لاغر و بسیار لاغر، ورق در محدوده ارجاعی از رفتار خود دچار کمانش می‌شود. در حالی که نسبت مقاومت به ظرفیت اسمی تسليیم برشی، در صفحات بسیار لاغر بسیار کوچک است، این نسبت در صفحات لاغر، بسته به جنس و نسبت لاغری، می‌تواند به حدود واحد نیز نزدیک شود (برای فولاد کربن‌دار، آلومینیوم و فولاد با تنش تسليیم پایین به ترتیب بین  $0-1/95$ ،  $0-1/84$  و  $0-1/67$  تغییر می‌کند). در جدول (۵) نیز با توجه به نتایج ارائه شده در جداول (۲) تا (۴) و پردازش آماری دامنه تغییرات نسبت (پارامتر) لاغری برای هر یک از محدوده‌های رفتاری با استفاده از نرم‌افزار (SPSS)، نتایج مرزبندی محدوده‌های لاغری برای مصالح مختلف ارائه، و با روابط پیشنهادی موجود [۲۱] مقایسه شده است. همان‌طور که در جدول (۵) مشاهده می‌شود در محدوده‌های صفحات لاغر، متوسط و ضخیم تا حدی بین مرزبندی آشتو و نتایج المان محدود اختلاف وجود دارد. مشابه با نتایج به دست آمده در پژوهش‌های قبلی [۲۲]

دست داده و پس از آن، ظرفیت باربری ناچیزی از خود تا رسیدن به بیشینه مقاومت نشان می‌دهند. با ادامه بارگذاری، ورق وارد رفاز نرم‌شوندگی می‌شود.

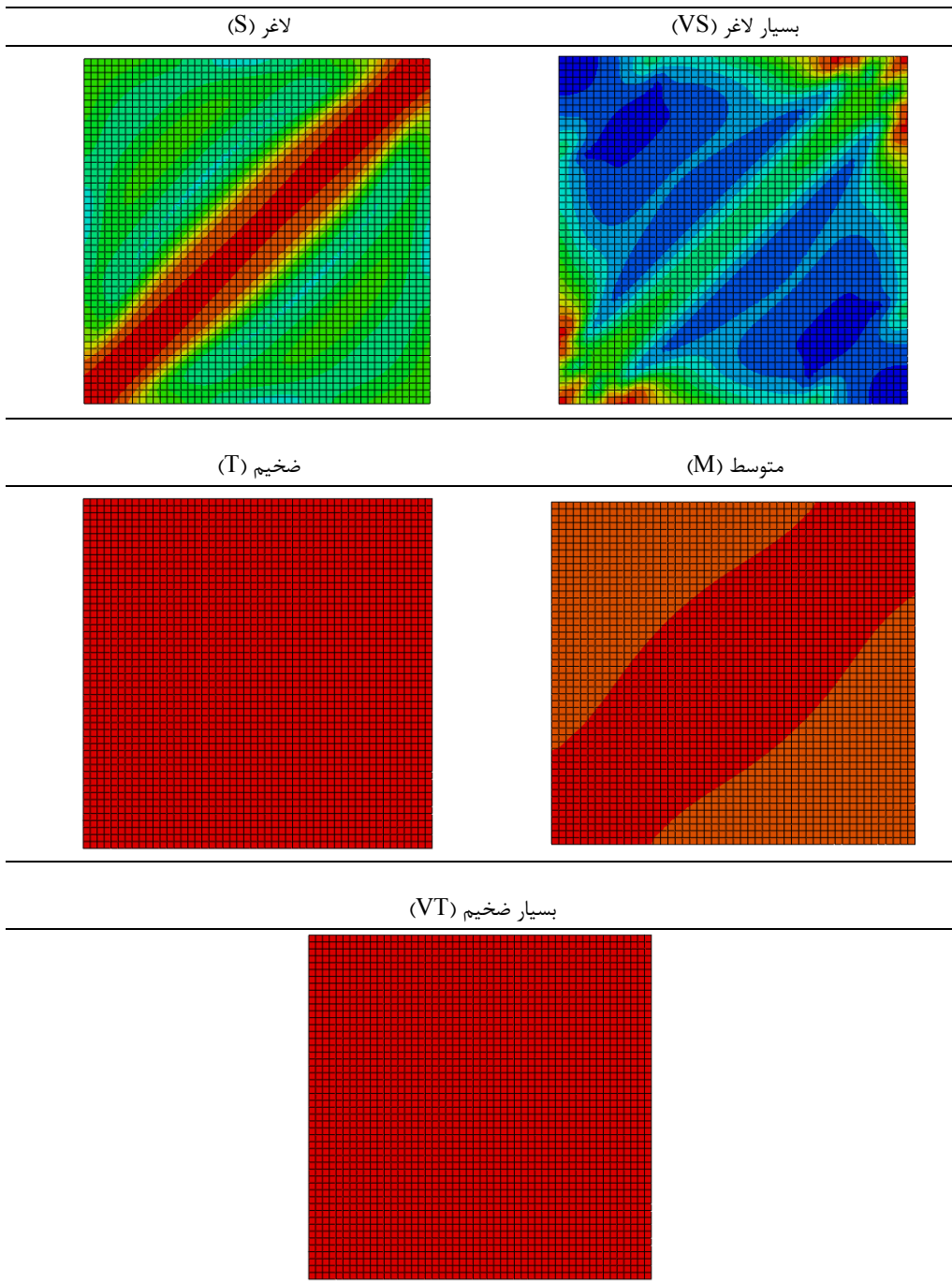
- صفحات لاغر: بسته به نسبت لاغری، ظرفیت کمانشی نسبتاً کم تا متوسط و در مقابل، ظرفیت پس از کمانش متوسط تا نسبت زیادی دارد. کمی بعد از وقوع اولین تسليیم، به بیشینه مقاومت خود می‌رسند.

- صفحات متوسط: بسته به مشخصات مصالح، ظرفیت‌های معادل با وقوع پدیده‌های کمانش ( $V_{cr}$ )، اولین تسليیم ( $V_{fy}$ ) و نهایی ( $V_u$ ) در این صفحات به یکدیگر نزدیک است ( $V_p < V_{cr}, V_{fy} < V_u < V_y$ ). برخلاف صفحات لاغر و بسیار لاغر، مقدار تغییر شکل‌های عمود بر صفحه به دلیل ظرفیت کمانشی نسبتاً بالاتر تا لحظه رسیدن به بیشینه مقاومت ( $V_u$ ) چندان قابل توجه نیست.

- صفحات ضخیم (laguer کم): در ظرفیتی معادل با ظرفیت اسمی تسليیم برشی ( $V_y$ ، تقریباً کل سطح ورق به شرایط تسليیم می‌رسد. پس از آن، صفحه باربری ناچیزی را با الگوی رفتار سخت‌شونده تا لحظه وقوع کمانش پلاستیک تجربه می‌کند. هم‌زمان با وقوع کمانش پلاستیک در صفحه، ورق به بیشینه ظرفیت خود ( $V_u$ ) می‌رسد ( $V_u > V_y$ ) و از این لحظه به بعد، توسعه تغییر شکل‌های عمود بر صفحه ورق آغاز می‌شود.

- صفحات بسیار ضخیم (laguer بسیار کم): در ظرفیتی معادل با ظرفیت اسمی تسليیم برشی ( $V_y$ ، ورق به طور کامل شرایط می‌شود. پس از آن، به علت توسعه تنش‌ها در ناحیه سخت‌شونده از رفتار مصالح، ورق باربری محدودی را با رفتار سخت‌شونده (متنااسب با مدول الاستیستیه ثانویه مصالح) تا رسیدن به بیشینه ظرفیت خود نشان می‌دهد. برخلاف صفحات رده‌های دیگر، به دلیل عدم وجود وقوع کمانش، رفتار نرم‌شونده مشاهده نمی‌شود و تغییر شکل‌های عمود بر صفحه ورق بسیار ناچیز است.

شکل ۳ الگوی کلی توسعه تنش‌ها در صفحات فلزی در لحظه رسیدن صفحه به مقاومت نهایی خود ( $V_u$  مطالعه می‌کند. در صفحات بسیار لاغر، تنش‌ها تنها در مناطق محدودی از لبه‌های ورق در کنج‌های کششی آن به تنش سخت‌شونده از رفتار سخت‌شونده (متنااسب با مدول الاستیستیه ثانویه مصالح) می‌شود. در صفحات لاغر، ورق در ناحیه بسیار باریکی در امتداد قطر کششی تسليیم می‌شود. در صفحات متوسط نیز در حالت کلی در مقایسه با صفحات لاغر و بسیار لاغر، تنش‌ها در سطح بزرگ‌تری از ورق در امتداد قطر کششی توسعه می‌یابد. در صفحات ضخیم و بسیار ضخیم، با الگوی نسبتاً مشابه، تقریباً کل سطح ورق در نهایت به صورت یکنواخت تسليیم می‌شود.



شكل ۳. الگوی توزیع تنش‌ها در حد نهایی مقاومت صفحات فلزی برشی

**Fig. 3. General stress distribution at the ultimate state of shear panels in different slenderness ratio classes**

## جدول ۲. خلاصه نتایج تحلیل صفحات فولادی کربن دار (CS)

Table 2. Summary of results of carbon steel models (CS)

محدوده	$t \text{ (mm)}$	$\lambda = b / t$	$\beta = \lambda \sqrt{\sigma_y / E}$	$V_{fy} \text{ (kN)}$	$V_{cr} \text{ (kN)}$	$V_p \text{ (kN)}$	$V_y \text{ (kN)}$	$V_u \text{ (kN)}$
بسیار ضخیم (VT)	۱۰۰/۰۰	۱۰	۰/۴۰	۱۹۹۴۲/۶	-	۱۹۰۵۰/۰	۱۹۹۲۰/۰	۲۱۵۶۷/۵
	۲۵/۰۰	۴۰	۱/۶۲	۴۹۸۳/۸	-	۴۷۶۲/۵	۴۹۸۰/۰	۵۳۹۰/۷
ضخیم (T)	۲۲/۲۲	۴۵	۱/۸۲	۴۴۴۸/۵	۴۷۷۱/۸	۴۲۲۳/۳	۴۴۲۶/۷	۴۷۷۱/۸
	۱۶/۶۷	۶۰	۲/۴۳	۳۳۱۹/۸	۳۴۴۱/۹	۳۱۷۵/۰	۳۳۲۰/۰	۳۴۴۱/۹
متوسط (M)	۱۲/۶۶	۷۹	۳/۲۰	۲۵۰۵/۵	۲۵۲۲/۶	۲۴۱۱/۴	۲۵۲۱/۵	۲۵۲۲/۶
	۱۲/۵۰	۸۰	۳/۲۴	۲۴۶۹/۷	۲۴۸۱/۲	۲۳۸۱/۲	۲۴۹۰/۰	۲۴۸۱/۲
لاغر (S)	۱۱/۴۹	۸۷	۳/۵۳	۲۱۹۴/۵	۲۱۹۵/۳	۲۱۸۹/۷	۲۲۸۹/۷	۲۱۹۵/۳
	۱۱/۳۶	۸۸	۳/۵۷	۲۱۵۳/۷	۲۱۵۵/۸	۲۱۶۴/۸	۲۲۶۳/۶	۲۱۵۵/۸
بسیار لاغر (VS)	۵/۰۰	۲۰۰	۸/۱۱	۳۵۲/۲	۲۲۷/۸	۹۵۲/۵	۹۹۶/۰	۳۷۱/۴
	۲/۲۲	۴۵۰	۱۸/۲۴	۶۱/۳	۲۰/۰	۴۲۳/۳	۴۴۲/۷	۷۱/۴
	۱/۰۰	۱۰۰۰	۴۰/۵۳	۱۳/۸	۱/۸	۱۹۰/۵	۱۹۹/۲	۱۶/۱
	۰/۹۱	۱۱۰۰	۴۴/۵۸	۱۱/۱	۱/۳	۱۷۳/۲	۱۸۱/۱	۱۳/۵
	۰/۶۷	۱۵۰۰	۶۰/۸۰	۵/۹	۰/۵	۱۲۷/۰	۱۳۲/۸	۷/۹
	۰/۴۵	۲۲۰۰	۸۹/۱۷	۳/۶	۰/۲	۸۶/۶	۹۰/۶	۴/۵

محدوده، استفاده صرف از مدول الاستیستیه اولیه ( $E$ ) در روابط، منطقی به نظر نمی‌رسد. به هر حال، مطالعه دقیق‌تر این نکته بررسی‌های بیشتری را با تمرکز کامل بر این موضوع می‌طلبد و خارج از دامنه تحقیق حاضر قرار می‌گیرد. به علاوه مقایسه نتایج تحلیل‌های المان محدود در جدول (۵) برای مصالح مختلف نیز نشان می‌دهد که صرف نظر از محدوده متوسط که نتایج مربذندی فولاد کربن دار (CS) و آلومینیوم (Al) به یکدیگر نزدیک‌تر است، در مرز بین نواحی لاغر/بسیار لاغر و ضخیم/بسیار ضخیم، بین نتایج مصالح فولادی مختلف (CS, LYP160) با یکدیگر توافق بیشتری وجود دارد تا با مصالح آلومینیومی (Al).

و ۲)، مقایسه نتایج برای مصالح مختلف نیز نشان می‌دهد، که برخلاف روابط آشتو، با تغییر جنس مصالح ورق، تغییراتی در دامنه‌های لاغری تعریف شده برای هر محدوده‌های لاغری به وجود می‌آید. احتمالاً دلیل این مشاهده به نحوه تعریف پارامتر لاغری ( $\beta$ ) بر می‌گردد که به شکل مشابه برای محدوده‌های مختلف (کمانش ارتجاعی، کمانش غیرارتجاعی و کمانش خمیری) بر اساس پارامترهای تنش تسلیم مصالح ( $\sigma_y$ ) و مدول الاستیستیه اولیه آن ( $E$ ) بیان شده است. در حالی که به نظر می‌رسد که در تعیین مرز بین محدوده‌های لاغر/متوسط (کمانش ارتجاعی/غیرارتجاعی) استفاده از پارامتر تنش حد تنش ( $\sigma_p$ ) به جای تنش حد تسلیم ( $\sigma_y$ ) مناسب‌تر باشد. همچنین، در تعیین مرز محدوده‌های متوسط/ضخیم (کمانش غیرارتجاعی/پلاستیک) نیز با توجه به تغییر مدول الاستیستیه مصالح در این

## جدول ۳. خلاصه نتایج تحلیل صفحات فولادی با تنش تسلیم پایین (LYP160)

Table 3. Summary of results of low yield point steel models (LYP160)

محدوده	$t \text{ (mm)}$	$\lambda = b / t$	$\beta = \lambda \sqrt{\sigma_y / E}$	$V_{fv} \text{ (kN)}$	$V_{cr} \text{ (kN)}$	$V_p \text{ (kN)}$	$V_y \text{ (kN)}$	$V_u \text{ (kN)}$
بسیار ضخیم (VT)	۱۰۰/۰۰	۱۰	۰/۲۸	۹۲۲۸/۳	-	۶۱۳۰/۰	۹۲۳۸/۰	۱۱۶۵۷/۵
	۲۲/۲۲	۴۵	۱/۲۷	۲۰۷۶/۶	-	۱۳۶۲/۲	۲۰۵۲/۹	۲۵۹۰/۲
ضخیم (T)	۲۰/۰۰	۵۰	۱/۴۱	۱۸۵۳/۶	۲۳۳۱/۱	۱۲۲۶/۰	۱۸۴۷/۶	۲۳۳۱/۱
	۱۴/۲۹	۷۰	۱/۹۸	۱۳۲۱/۴	۱۶۱۴/۵	۸۷۵/۷	۱۳۱۹/۷	۱۶۱۴/۵
متوسط (M)	۹/۶۲	۱۰۴	۲/۹۴	۸۷۰/۷	۸۹۵/۵	۵۸۹/۴	۸۸۸/۳	۸۹۵/۵
	۹/۵۲	۱۰۵	۲/۹۷	۸۶۰/۰	۸۷۹/۰	۵۸۳/۸	۸۷۹/۸	۸۷۹/۰
laguer (S)	۶/۳۳	۱۵۸	۴/۴۷	۳۸۴/۶	۳۹۰/۶	۳۸۸/۰	۵۸۴/۷	۳۹۷/۲
	۶/۲۹	۱۵۹	۴/۵۰	۳۷۹/۵	۳۸۵/۱	۳۸۵/۵	۵۸۱/۰	۳۹۱/۸
بسیار laguer (VS)	۳/۳۳	۳۰۰	۸/۴۸	۱۰۰/۵	۶۳/۹	۲۰۴/۳	۳۰۷/۹	۱۰۱/۳
	۱/۶۷	۶۰۰	۱۶/۹۷	۲۳/۷	۶/۱	۱۰۲/۲	۱۵۴/۰	۲۶/۵
	۱/۱۱	۱۱۰۰	۳۱/۱۱	۷/۴	۱/۳	۵۵/۷	۸۴/۰	۸/۱
	۰/۶۷	۱۵۰۰	۴۲/۴۳	۴/۱	۰/۵	۴۰/۹	۶۱/۶	۴/۶
بسیار ضخیم (VT)	۰/۵۶	۱۸۰۰	۵۰/۹۲	۳/۱	۰/۳	۳۴/۱	۵۱/۳	۳/۵
	۰/۴۵	۲۲۰۰	۶۲/۲۲	۲/۲	۰/۲	۲۷/۹	۴۲/۰	۲/۶

المان محدود و با استفاده از پردازش آماری داده‌ها با نرم‌افزار (SPSS) روابط جدیدی برای ارزیابی بار کمانشی صفحات متوسط و ضخیم پیشنهاد می‌گردد. همان‌طور که در شکل ۵ مشاهده می‌شود، روابط پیشنهادی در غالب نسبت‌های laguer قادر است با دقت نسبتاً بهتری در مقایسه با روابط آشتو [۲۱] بار کمانشی صفحات متوسط (کمانش غیرارتگاعی) و ضخیم (کمانش پلاستیک) را پیش‌بینی کند (به ترتیب روابط (۶) و (۷)). لازم به ذکر است که پردازش آماری نتایج مربوط به صفحات متوسط تایید کرد که ارتباط معناداری بین ظرفیت کمانشی صفحات این رده و پارامترهای مدول الاستیستیه اولیه، ضریب کمانش برشی، تنش تسلیم مصالح و نسبت laguer وجود دارد. بنابراین، همان‌طور که از مقایسه روابط (۶) و (۳) مشخص است، در ارائه رابطه (۶) برای ظرفیت کمانشی صفحات متوسط از الگویی مشابه با رابطه پیشنهادی آشتو استفاده شده است. در مورد صفحات

## ۳-۱-۳- ارزیابی و مقایسه نتایج تحلیل عددی و روابط تئوری موجود برای بار کمانشی

در اشکال ۴ و ۵ نتایج تنش بحرانی کمانشی به دست آمده از تحلیل عددی و روابط نظری موجود (روابط (۲) تا (۴)) به ترتیب برای محدوده‌های laguer/بسیار laguer و متوسط/ضخیم مقایسه شده است. همان‌طور که در شکل ۴ مشاهده می‌شود و نتایج تحقیقات گذشته [۵۰ و ۲۲] نیز نشان می‌دهد، در محدوده‌های laguer و بسیار laguer، روابط تئوری موجود (رابطه (۱) یا (۲)) و نتایج تحلیل‌های المان محدود توافق مناسبی دارند که این نتیجه به نوعی، موید صحت روش مدل‌سازی و تحلیل در نرم‌افزار نیز است. در مقابل در محدوده‌های صفحات متوسط و ضخیم، به نظر می‌رسد روابط نظری موجود (روابط (۳) و (۴)) در مقایسه با نتایج تحلیل‌های المان محدود تا حدی دچار اختلاف می‌شوند. به همین جهت، در این تحقیق با توجه به نتایج تحلیل‌های

جدول ۴. خلاصه نتایج تحلیل صفحات آلومینیومی (AL)

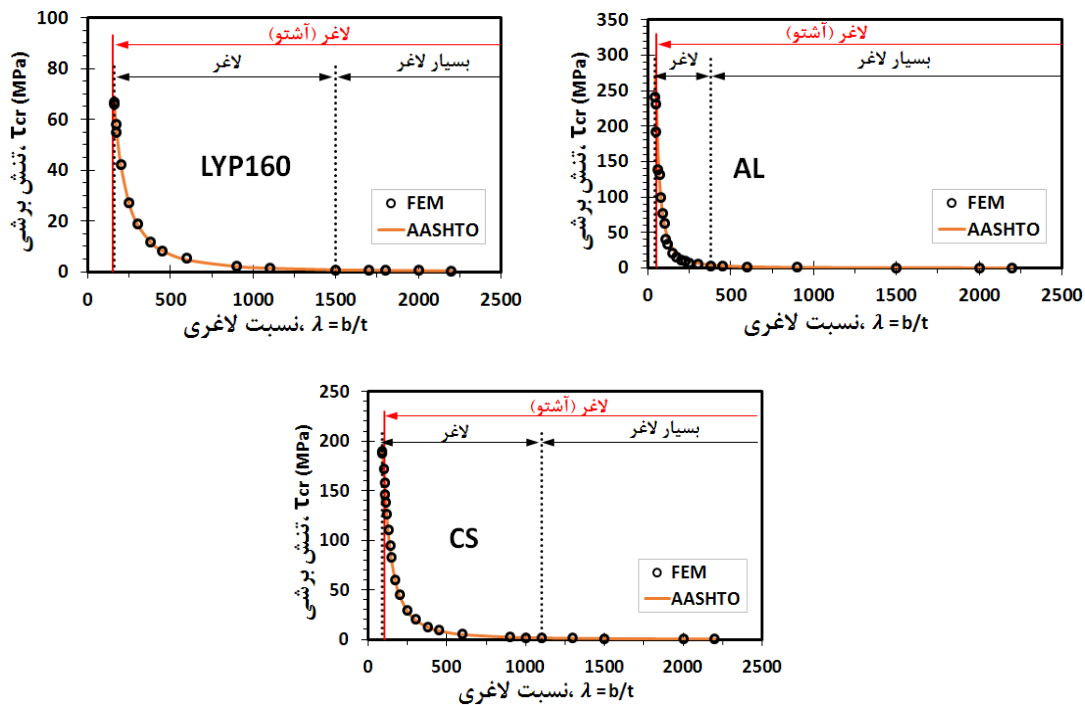
Table 4. Summary of results of aluminum models (AL)

محدوده	$t \text{ (mm)}$	$\lambda = b / t$	$\beta = \lambda \sqrt{\sigma_y / E}$	$V_{fy} \text{ (kN)}$	$V_{cr} \text{ (kN)}$	$V_p \text{ (kN)}$	$V_y \text{ (kN)}$	$V_u \text{ (kN)}$
بسیار ضخیم (VT)	۱۰۰/۰۰	۱۰	۰/۸۴	۲۹۰۸۵/۴	-	۲۴۷۱۰/۰	۲۹۰۵۰/۰	۳۰۰۶۵/۷
	۳۳/۲۳	۳۰	۲/۵۱	۹۶۹۷/۵	-	۸۲۳۶/۷	۹۶۸۳/۳	۱۰۰۲۰/۴
ضخیم (T)	۲۸/۵۷	۳۵	۲/۹۳	۸۱۵۸/۹	۹۱۰۲/۷	۷۰۶۰/۰	۸۳۰۰/۰	۸۵۸۷/۵
	۲۶/۲۲	۳۸	۳/۱۸	۷۴۶۲/۳	۷۷۵۷/۶	۶۵۰۲/۶	۷۶۴۴/۷	۷۷۵۷/۶
متوسط (M)	۲۵/۶۴	۳۹	۳/۲۷	۷۱۶۶/۳	۷۳۷۰/۴	۶۳۳۵/۹۰	۷۴۴۸/۷	۷۳۷۰/۴
	۲۳/۲۶	۴۳	۳/۶۰	۵۸۲۸/۵	۵۸۲۱/۸	۵۷۴۶/۵	۶۷۵۵/۸	۵۸۵۴/۳
لاغر (S)	۲۲/۷۳	۴۴	۳/۶۹	۵۵۲۴/۰	۵۴۸۲/۸	۵۶۱۵/۹	۶۶۰۲/۳	۵۵۴۴/۸
	۱۰/۰۰	۱۰۰	۸/۳۸	۹۰۰/۹	۶۲۹/۱	۲۴۷۱/۰	۲۹۰۵/۰	۱۰۴۳/۳
بسیار لاگر (VS)	۳/۳۳	۳۰۰	۲۵/۱۳	۸۶/۳	۱۷/۱	۸۲۳/۷	۹۶۸/۳	۱۲۲/۲
	۲/۶۳	۳۸۰	۳۱/۸۳	۵۵/۲	۸/۴	۶۵۰/۳	۷۶۴/۵	۷۷/۶
بسیار لاگر (VS)	۱/۶۷	۶۰۰	۵۰/۲۶	۲۴/۸	۲/۲	۴۱۱/۸	۴۸۴/۲	۳۱/۴
	۰/۶۷	۱۵۰۰	۱۲۵/۶۶	۶/۲	۰/۲	۱۶۴/۷	۱۹۳/۷	۷/۳
	۰/۴۵	۲۲۰۰	۱۸۴/۳۰	۳/۹	۰/۱	۱۱۲/۳	۱۳۲/۰	۴/۰

جدول ۵. تقسیم‌بندی صفحات فلزی مختلف با توجه به معیار لاگری (نتایج المان محدود) و مقایسه با روابط آشتو

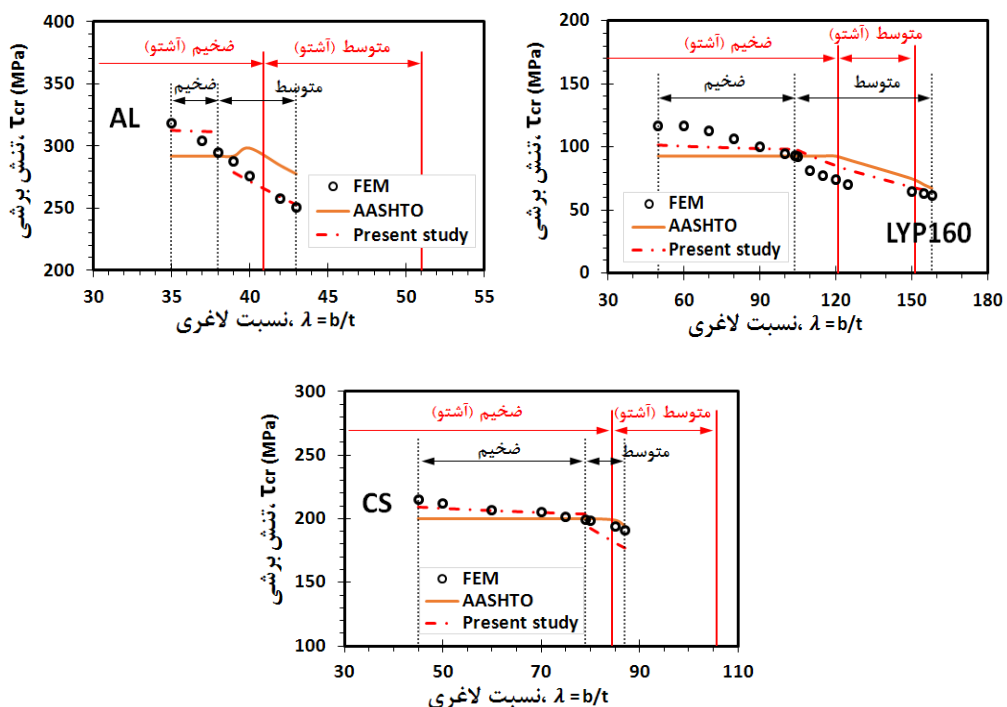
Table 5. Slenderness classification of different metal plates (using FE results) and comparison with AASHTO

	بسیار ضخیم (VT)	ضخیم (T)		متوسط (M)		لاگر (S)		بسیار لاگر (VS)	
	$\beta \leq y \sqrt{K}$	$x \sqrt{K} \leq \beta \leq y \sqrt{K}$	$x \sqrt{K} \leq \beta \leq y \sqrt{K}$	$x \sqrt{K} \leq \beta \leq y \sqrt{K}$	$x \sqrt{K} \leq \beta$	$x$	$y$	$x$	$y$
آشتو	-	-	-	۱/۱۲	۱/۱۲	۱/۴۰	۱/۴۰	-	-
CS	-	۰/۵۳	۰/۵۳	۱/۰۵	۱/۰۵	۱/۱۵	۱/۱۵	۱۴/۵۹	۱۴/۵۹
المان محدود	LYP160	-	۰/۴۲	۰/۴۲	۰/۹۶	۰/۹۶	۱/۴۶	۱/۴۶	۱۳/۸۸
	AL	-	۰/۸۲	۰/۸۲	۱/۰۴	۱/۰۴	۱/۱۸	۱/۱۸	۱۰/۴۲



شکل ۴. مقایسه نتایج بار کمانشی به دست آمده از تحلیل المان محدود با روابط تئوری موجود برای صفحات محدوده های لاغر و بسیار لاغر

Fig. 4. Comparison of buckling loads of slender and very slender plates from FE analyses and AASHTO



شکل ۵. مقایسه نتایج بار کمانشی به دست آمده از تحلیل المان محدود، روابط پیشنهادی و آینن نامه آشتیو برای صفحات محدوده های متواسط و ضخیم

Fig. 5. Comparison of buckling loads of moderate and stocky plates from FE analyses, proposed equations and AASHTO

شکل ۶ خصوصیات باربری صفحات برشی فولادی و آلومینیومی را در طول بارگذاری تا لحظه رسیدن به مقاومت نهایی برای نسبت‌های (محدوده‌های) لاغری مختلف مقایسه می‌کند. همان‌طور که مشاهده می‌شود، در نتایج ارائه شده دامنه رفتار خطی یا غیرخطی صفحات (غیرخطی مکانیکی، هندسی یا هر دو) مورد توجه قرار گرفته است. به جهت ترسیم نتایج، ظرفیت‌های متناظر با موقعیت اولین تسلیم، کمانش (الاستیک)، غیرارتاجاعی یا پلاستیک) یا حد نهایی باربری برای هر نسبت لاغری به صورت بی‌بعد و با تقسیم کردن ظرفیت مربوطه به مقاومت نهایی ورق مورد نظر حاصل شده است. همچنین به جهت فراهم آوردن امکان مقایسه راحت‌تر، دامنه تغییرات نسبت لاغری برای هر محدوده رفتاری بر اساس مطالعه حاضر و روابط آشتو در شکل ۶ به تفکیک ترسیم شده است. با توجه به نتایج:

- صفحات بسیار ضخیم: بسته به جنس صفحه و بدون توجه به نسبت لاغری، بخش قابل توجهی از باربری خود را در محدوده الاستیک از رفتار تجربه می‌کنند (در حدود ۸۰ و ۸۵ و ۹۵ درصد به ترتیب برای مصالح آلمینیوم (Al)، فولاد کربن‌دار (CS) و فولاد با تنش تسلیم پایین (LYP160)). با افزایش بارگذاری، ورق تسلیم می‌شود و از آن پس تا حد نهایی باربری رفتار آن به لحاظ مکانیکی غیرخطی می‌گردد، در حالی که رفتار آن به لحاظ هندسی همچنان خطی باقی می‌ماند.

- صفحات ضخیم: بسته به جنس صفحه و نسبت لاغری آن، بخش قابل توجهی از باربری صفحه، به ویژه برای نسبت‌های لاغری بزرگ‌تر، در محدوده خطی اتفاق می‌افتد. پس از آن با وجود تسلیم در ورق، رفتار ورق تا بیشینه باربری، که همزمان با وجود کمانش (پلاستیک) در آن است، به لحاظ مکانیکی غیرخطی می‌شود. بنابراین مشابه با صفحات بسیار ضخیم، علاوه بر قابل توجهه رسیدن به بیشینه باربری خود رفتار غیرخطی هندسی (یا غیرخطی کامل) را تجربه نمی‌کند.

- صفحات متوسط: بسته به جنس صفحات، تقریباً کل باربری صفحه تا رسیدن به بیشینه ظرفیت در محدوده الاستیک از رفتار اتفاق می‌افتد و علاوه، دامنه رفتار غیرخطی (هندسی یا مکانیکی) ناچیز و قابل صرف نظر است. به بیان دیگر، بدون توجه به جنس صفحات، حداکثر دامنه رفتار خطی برای صفحات رده متوسط در مقایسه با سایر رده‌ها مشاهده می‌شود. با وجود کمانش یا تسلیم به طور همزمان یا با فاصله زمانی کوتاه از هم، صفحه به حداکثر ظرفیت باربری خود می‌رسد.

- صفحات لاغر و بسیار لاغر: در محدوده لاغری‌های کوچک‌تر، رفتار تا حدی مشابه با صفحات متوسط است و عمدۀ باربری در فاز الاستیک اتفاق

رده ضخیم، برخلاف رابطه آشتو (رابطه (۴))، پارامترهای مدول الاستیتیه اولیه و ثانویه، ضریب کمانش برشی و نسبت لاغری، علاوه بر تنش تسلیم مصالح، در نتایج بار کمانشی تاثیرگذار تشخیص داده شدند. بنابراین در ارائه رابطه پیشنهادی برای صفحات این رده (رابطه (۷))، تاثیر پارامترهای ذکر شده نیز لحاظ شده است.

$$\tau_{cr} = 0.592 \frac{\sqrt{EK\sigma_y}}{\lambda} \quad (6)$$

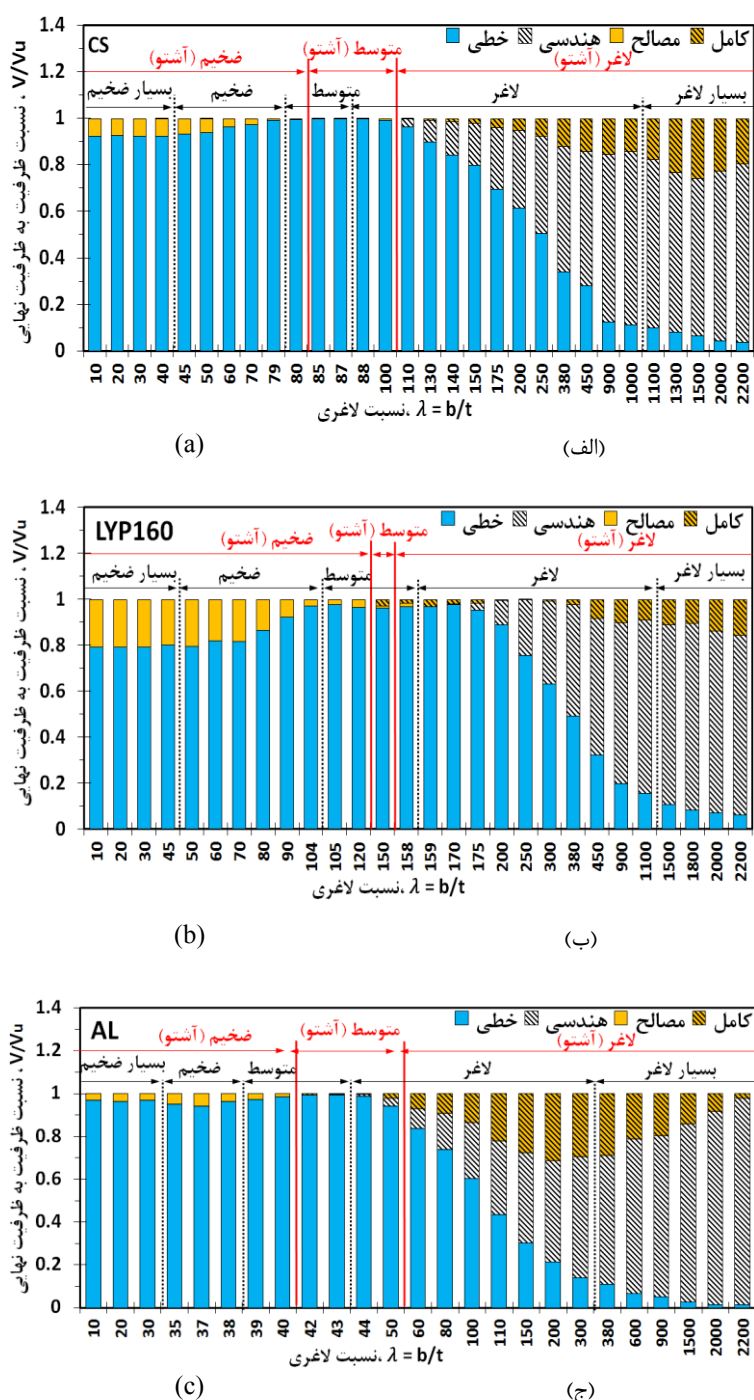
$$\tau_{cr} = 0.827\sigma_y \times \left( \frac{KE_t}{\lambda E} \right)^{0.047} \quad (7)$$

### ۳-۴-۱- مطالعه ترسیمی<sup>۱</sup> ویژگی‌های باربری صفحات در ارتباط با پدیده‌های کمانش و تسلیم

همان‌طور که می‌دانیم و قبل نیز اشاره شد، رفتار صفحات در طول بارگذاری بسته به نسبت لاغری‌شان متاثر از موقع پدیده‌های کمانش (در صورت وجود) و تسلیم است. در این ارتباط، آگاهی داشتن نسبت به زمان و شرایط وقوع این دو پدیده نسبت به یکدیگر یا ظرفیت نهایی کل، نه تنها از نظر درک بهتر رفتار صفحات به عنوان المان اصلی باربر یا بخشی از یک سیستم باربر می‌تواند با اهمیت باشد، بلکه در فرآیند طراحی چنین سازه‌هایی نیز می‌تواند رویکرد جدیدی را در طراحی آن‌ها برای سطوح مختلف بارگذاری به ارمغان آورد. به عنوان یک دیدگاه در طراحی، صفحات می‌توانند در محدوده رفتار خطی خود، سختی قابل توجهی را از خود نشان دهند و بدون آن که کمانش یا تسلیم را تجربه کنند، بارهای کوچک را به خوبی تحمل کنند. در بارهای بزرگ‌تر، بسته به فلسفه طراحی، ورق وارد فاز رفتار غیرخطی هندسی (کمانش) یا مکانیکی (تسليم) می‌شود و امكان جذب انرژی بیشتر را برای سیستم، بدون کاهش قابل ملاحظه در سختی، فراهم می‌آورد. در بارهای بسیار بزرگ که ورق جابه‌جاکی‌های بسیار بزرگ را تجربه می‌کند، رفتار ورق می‌تواند هم به لحاظ هندسی و هم مکانیکی غیرخطی (کامل) شود. این موضوع این امکان را به ورق می‌دهد که با فراهم آوردن سطح مطلوبی از ظرفیت تغییر شکلی، ضمن کنترل انرژی ورودی زلزله به جذب انرژی پردازد.

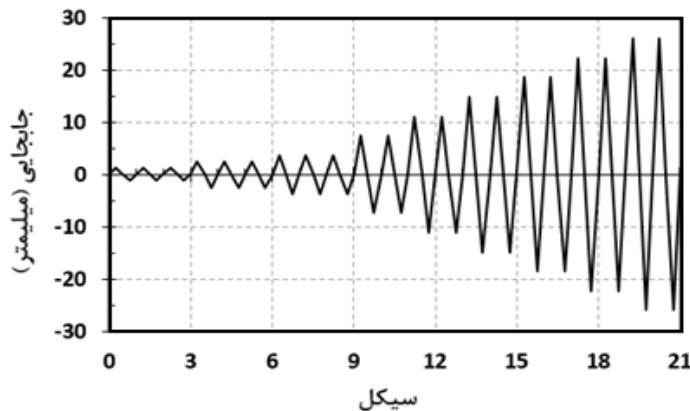
1 Info-graphic

2 Deformability



شکل ۶. تاثیر نسبت لاغری بر دامنه‌های رفتار خطی/غیرخطی صفحات فولادی و آلومینیومی تا لحظه رسیدن به بیشینه مقاومت،  
الف): فولاد کربن دار (CS)، ب): فولاد با تنش تسليم پایین (LYP160)، ج): آلومینیوم (Al)

**Fig. 6. Effect of slenderness ratio on the behavior characteristics of, (a): carbon steel (CS), (b): low yield point steel (LYP160), (c): aluminum (Al) shear panels**



شکل ۷. تاریخچه اعمال بارگذاری چرخه‌ای

Fig. 7. Cyclic loading history

و رفتار چرخه‌ای صفات مختلف با یکدیگر، از یک تاریخچه بارگذاری مشابه تا رسیدن به تغییر مکان نسبی جانبی حدود  $25/9$  میلی‌متر (تقرباً معادل با درصد دریفت  $2/5\%$ ) برای مدل‌های مختلف استفاده گردید (شکل ۷). شرایط مرزی و الگوی بارگذاری برشی صفات قبل از شکل ۱-ب تشریح شده است.

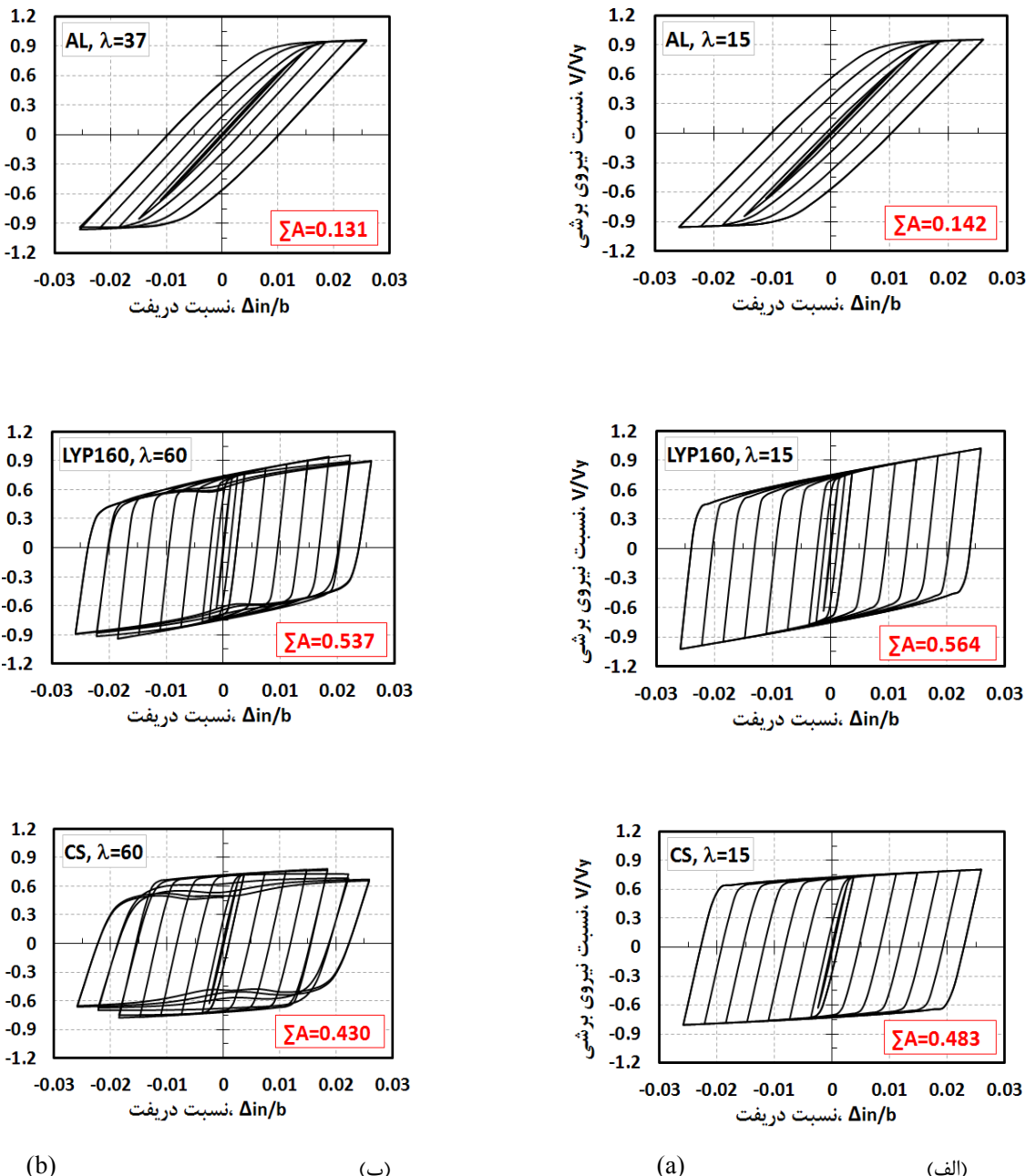
به طور کلی در بررسی قابلیت جذب انرژی یک صفحه با ابعاد (طول و عرض) و شرایط بارگذاری و تکیه‌گاهی مشخص، پارامترهای مختلفی نظیر ضخامت یا نسبت لاغری (که حجم مصالح به کار رفته و شرایط وقوع کمانش و تسليم را در صفحه مشخص می‌کند)، مدول الاستیتیه اولیه، تنش تسليم پایین (LYP160)، با افزایش نسبت لاغری ورق وقوع اولین تسليم در آن تسریع می‌شود. برای فولاد کربن دار (CS) و آلومینیوم (Al) نیز رفتاری مشابه با فولاد با تنش تسليم پایین مشاهده می‌شود، با این تفاوت که برای لاغری‌های بزرگ‌تر از یک نسبت لاغری مشخص، این روند عکس می‌شود.

در شکل ۸ منحنی‌های هیسترزیس<sup>۱</sup> پانلهای برشی فلزی بسیار لاغر تا بسیار ضخیم برای مصالح مختلف نشان داده شده است. همان‌طور که مشاهده می‌شود محور قائم و افقی منحنیها به ترتیب نسبت به ظرفیت اسمی تسليم برشی ورق ( $V_y = b \times t \times \tau_y$ ) و ارتفاع صفات بیبعد (نرمال) شده‌اند. بدین ترتیب به نوعی تاثیر پارامتر تنش تسليم مصالح مختلف از نتایج حذف می‌گردد و امکان مطالعه بهتر نتایج در ارتباط با سایر پارامترهای تاثیرگذار (مدول الاستیتیه اولیه و ثانویه، لاغری) فراهم می‌آید. همچنین به منظور امكان مقایسه کمی نتایج، مجموع سطح محصور شده

می‌افتد. پس از آن با وقوع کمانش، صفحه رفتار غیرخطی هندسی را تجربه می‌کند. بسته به نسبت لاغری، ظرفیت کمانشی صفحه در مقایسه با ظرفیت بیشینه آن می‌تواند قابل توجه یا ناچیز باشد. در ادامه همزمان با وقوع تسليم یا کمی پس از آن، ورق با تجربه رفتار غیرخطی کامل (هندسی و مصالح) به بیشینه ظرفیت باربری خود می‌رسد. با افزایش نسبت لاغری، به دلیل افت ظرفیت کمانشی ورق، تدریجاً دامنه رفتار خطی آن نیز کاهش می‌یابد. صرف‌نظر از نوع مصالح، در نسبت‌های لاغری بزرگ‌تر، مده باربری ورق در محدوده پس از کمانش (غیرخطی هندسی) اتفاق می‌افتد. برای فولاد با تنش تسليم پایین (LYP160)، با افزایش نسبت لاغری ورق وقوع اولین تسليم در آن تسریع می‌شود. برای فولاد کربن دار (CS) و آلومینیوم (Al) نیز رفتاری مشابه با فولاد با تنش تسليم پایین مشاهده می‌شود، با این تفاوت که برای لاغری‌های بزرگ‌تر از یک نسبت لاغری مشخص، این روند عکس می‌شود.

### ۲-۳- تحلیل سیکلی و استهلاک انرژی

به جهت بررسی تاثیر جنس و مشخصات هندسی صفات فلزی در خصوصیات جذب انرژی آن‌ها، برای هر یک از مصالح فولاد کربن دار (CS)، فولاد با تنش تسليم پایین (LYP160) و آلومینیوم (Al) تعدادی مدل با نسبت‌های لاغری مختلف (به گونه‌ای که معرف هر یک از محدوده‌های پنج گانه رفتار باشند) انتخاب می‌گردد و تحت آنالیز چرخه‌ای قرار می‌گیرد. به منظور فراهم آوردن امکان مقایسه منطقی و یکسان بین نتایج جذب انرژی



شکل ۸. منحنی های هیسترزیس پانل های برشی، (الف): بسیار ضخیم (VT)، ب): ضخیم (VS)

Fig. 8. Hysteresis curves of shear panels in different slenderness ratio classes, (a): very stocky, (b): stocky

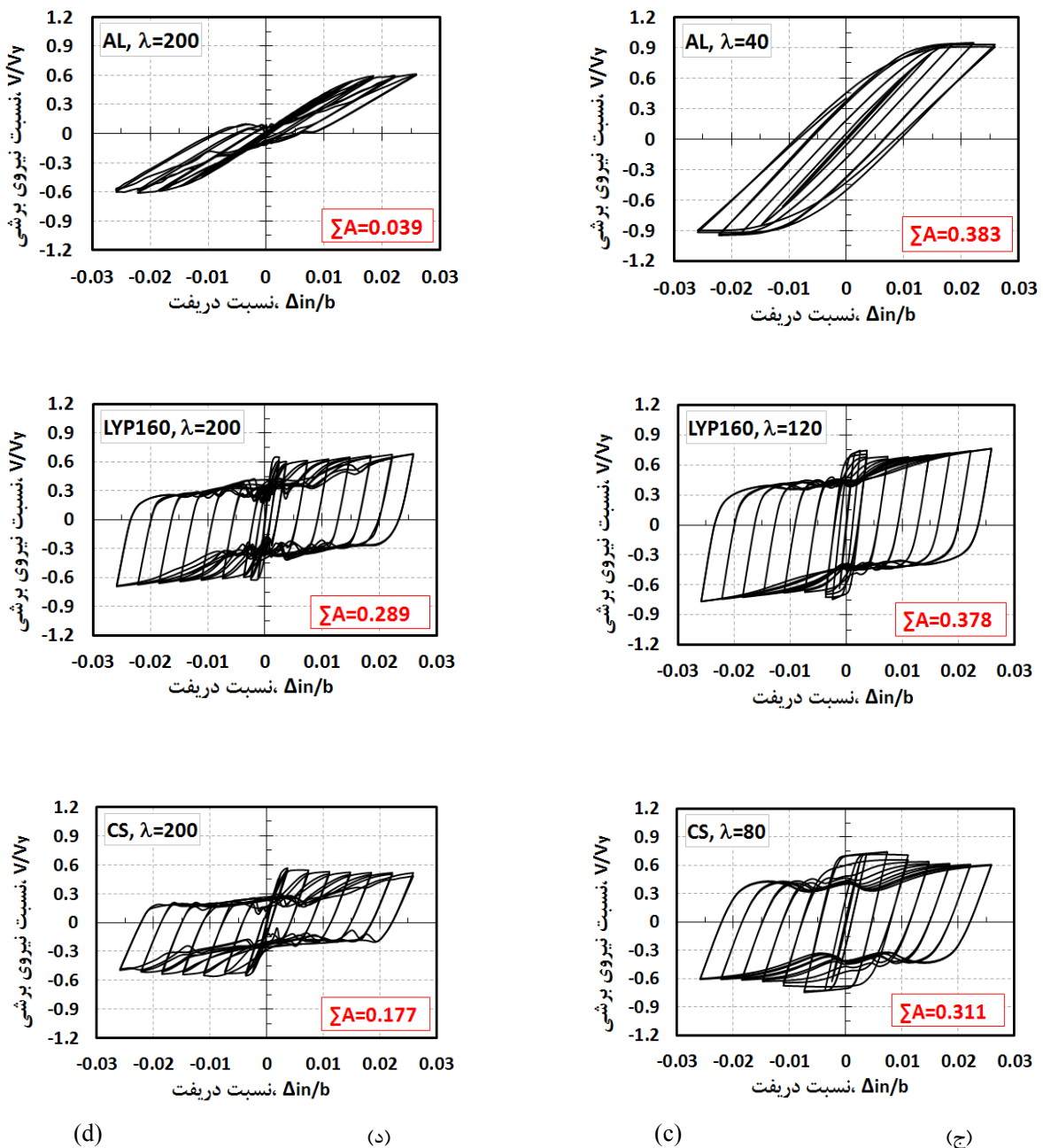
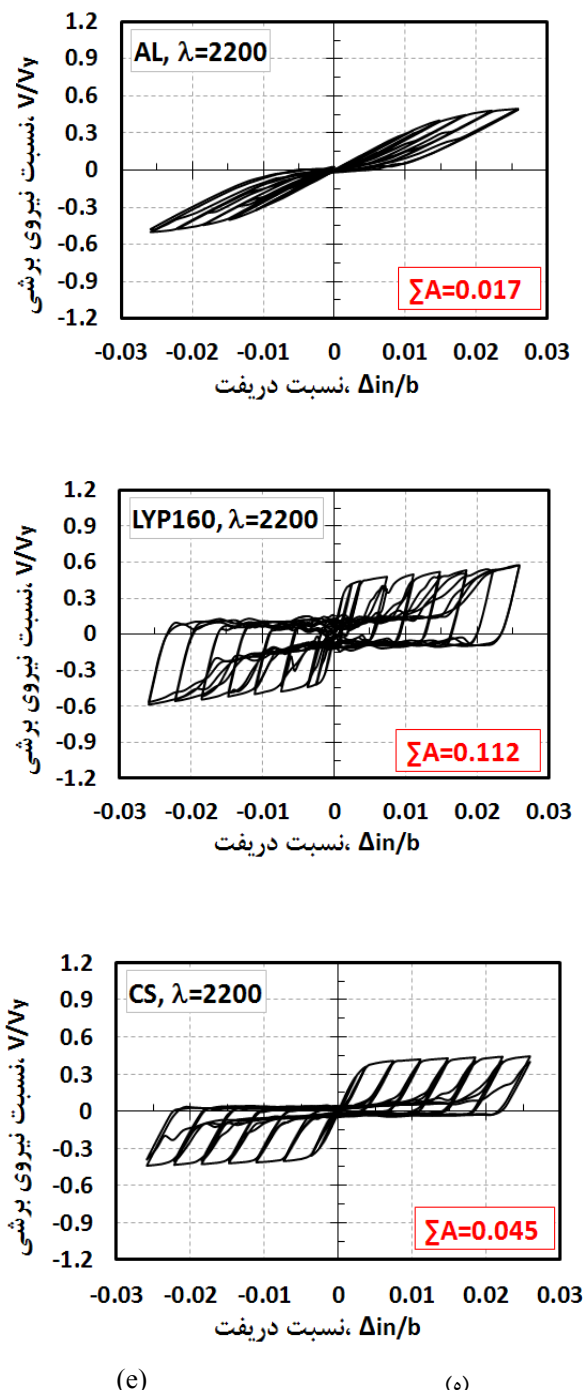


Fig. 8. Hysteresis curves of shear panels in different slenderness ratio classes, (c): moderate, (d): slender



شکل ۸. منحنی‌های هیسترزیس پانل‌های برشی، ۵: بسیار لاغری (VS)

Fig. 8. Hysteresis curves of shear panels in different slenderness ratio classes, (e): very slender

مشابه (از نظر نسبت لاغری و تنش تسلیم) صفحات آلومینیومی به دلیل مدول الاستیستیه اولیه کوچکتر، منحنی‌های هیسترزیس باریک‌تر و در نتیجه، قابلیت جذب انرژی به مراتب کوچک‌تری دارند.

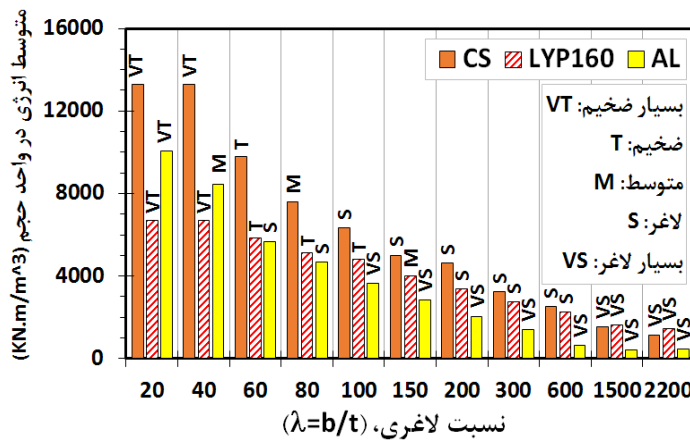
به جهت مطالعه همزمان تاثیر پارامترهای مختلف در ارتباط با هندسه (ضخامت یا نسبت لاغری) و جنس (تنش تسلیم و مدول الاستیستیه اولیه و ثانویه) صفحات در قابلیت جذب انرژی، شکل ۹ متوسط انرژی جذب شده دو سیکل آخر را در واحد حجم صفحات فولادی و آلومینیومی برای نسبت‌های لاغری مختلف مقایسه می‌کند. با توجه به نتایج، در حالت کلی صرف نظر از نوع مصالح، با تغییر نسبت لاغری در محدوده صفحات بسیار ضخیم (VT)، انرژی جذب شده در واحد حجم تغییر نمی‌کند، لیکن در سایر محدوده‌ها (ضخیم (T)، متوسط (M)، لاغر (S) و بسیار لاغر (VS)) با افزایش نسبت لاغری، به علت وقوع کمانش، انرژی جذب شده در واحد حجم صفحات تدریجاً کاهش می‌یابد.

مقایسه نتایج در شکل ۹ برای مصالح مختلف در محدوده‌های بسیار ضخیم (VT)، ضخیم (T) و متوسط (M)، که رفتار صفحات عمدتاً تحت تاثیر وقوع پدیده تسلیم است، به گونه‌ای متفاوت با نتایج شکل ۸ حاکی از آن است که حداکثر جذب انرژی در واحد حجم به ترتیب برای مصالح فولاد کربن‌دار، آلومینیوم و فولاد با تنش تسلیم پایین اتفاق می‌افتد. این نتیجه تلویحاً در درجه اول به نقش برجسته تنش تسلیم و سپس مدول الاستیستیه مصالح دلالت دارد. در صفحات فولادی، با توجه به نزدیک بودن مدول الاستیستیه دو نوع فولاد و به دلیل تنش تسلیم بالاتر مصالح فولاد کربن‌دار نسبت به فولاد با تنش تسلیم پایین، قابلیت جذب انرژی فولاد کربن‌دار بالاتر است. قابلیت جذب انرژی صفحات آلومینیومی نیز به دلیل تنش تسلیم بالاتر آلومینیوم در مقایسه با فولاد با تنش تسلیم پایین، با وجود مدول الاستیستیه کمتر آلومینیوم نسبت به فولاد، از فولاد با تنش تسلیم پایین بالاتر است. همچنین با وجود تنش تسلیم بالاتر آلومینیوم نسبت به فولاد کربن‌دار، به دلیل اختلاف قابل توجه مدول الاستیستیه فولاد کربن‌دار نسبت به آلومینیوم و اختلاف نسبتاً کمتر تنش تسلیم فولاد کربن‌دار از آلومینیوم، قابلیت جذب انرژی صفحات فولادی کربن‌دار از صفحات آلومینیومی نظیر بالاتر است.

به علاوه مقایسه نتایج شکل ۹ برای مصالح مختلف در محدوده لاغر (S)، که رفتار مصالح عمدتاً تحت تاثیر پدیده کمانش است، نشان می‌دهد که در این محدوده نیز به ترتیب مدول الاستیستیه اولیه و تنش تسلیم مصالح در قابلیت جذب انرژی صفحات مختلف نقش برجسته‌ای دارند. با توجه به

توسط منحنی‌های هیسترزیس نرمال شده نیز در کنار تصاویر نمایش داده شده است.

نتایج در شکل ۸ نشان می‌دهد که به طور کلی برای یک مصالح به خصوص با افزایش سیکل‌های بارگذاری، ظرفیت باربری صفحات رده بسیار ضخیم به دلیل توسعه تنش‌ها در بخش سخت‌شونده از منحنی تنش-کرنش مرتب‌آفزاش می‌یابد، در حالی که در صفحات سایر رده‌ها (ضخیم، متوسط، لاغر و بسیار لاغر)، به دلیل وقوع کمانش و کرنشهای پسماند ناشی از سیکلهای متعدد بارگذاری، تا حدی از ظرفیت باربری در سیکل‌های بالاتر کاسته می‌شود. کاهش نسبت لاغری در محدوده صفحات ضخیم و بسیار ضخیم، که رفتار صفحه عمدتاً تحت اثر وقوع تسلیم است، تاثیر چندانی در سطح محصور شده زیر منحنی‌های هیسترزیس و در نتیجه، قابلیت جذب انرژی صفحات ندارد. در مقابل، در محدوده صفحات متوسط، لاغر و به ویژه بسیار لاغر، که به تدریج نقش کمانش در رفتار صفحات برجسته‌تر می‌شود، به دلیل وقوع کمانش و در نتیجه، پدیده تنگ‌شدگی<sup>۱</sup> در منحنی‌های هیسترزیس، قابلیت جذب انرژی صفحات با کاهش نسبت لاغری به شدت تحت تاثیر قرار گرفته و از مقدار آن به سرعت کاسته می‌شود. مقایسه کیفی نتایج برای مصالح فولادی مختلف با یکدیگر در شکل ۸ نشان می‌دهد که الگوی منحنی‌های هیسترزیس مصالح فولادی، که مدول الاستیستیه اولیه تقریباً یکسانی دارند، کم و بیش با یکدیگر مشابه است. البته، به دلیل اختلاف شیب (مدول الاستیستیه) ثانویه منحنی‌های تنش-کرنش فولادها (جدول ۱ را ببینید)، امتداد منحنی‌های هیسترزیس آن‌ها تا حدودی تحت تاثیر قرار گرفته است. ارزیابی کمی سطح محصور شده توسعه منحنی‌های هیسترزیس مصالح فولادی مختلف نیز ظاهرًا به نقش مدول الاستیستیه ثانویه مصالح در قابلیت جذب انرژی صفحات اشاره دارد. در شرایط یکسان از نقطه نظر مدول الاستیستیه اولیه، نسبت لاغری و تنش تسلیم (با توجه به حذف تاثیر تنش تسلیم مصالح در نتایج)، به نظر می‌رسد که هر چه مدول الاستیستیه ثانویه مصالح صفحه بیشتر باشد، قابلیت جذب انرژی آن نیز بیشتر خواهد بود. با توجه به نتایج به دست آمده، برای نسبت‌های لاغری بزرگ‌تر، میزان تاثیر مدول الاستیستیه ثانویه مصالح در نسبت جذب انرژی صفحات به سرعت افزایش می‌یابد. همچنین، مقایسه کمی و کیفی نتایج صفحات فولادی و آلومینیومی در شکل ۸ با یکدیگر تحت شرایط بارگذاری تغییر شکل‌های یکسان به نقش برجسته مدول الاستیستیه اولیه مصالح را در قابلیت جذب انرژی صفحات اشاره دارد. نتایج به دست آمده نشان می‌دهد که در شرایط



شکل ۹. متوسط انرژی جذب شده دو سیکل آخر در واحد حجم صفحات برشی برای مصالح و نسبت‌های (محدوده‌های) لاغری مختلف

Fig. 9. Average dissipated energy per volume in the last two cycles for different shear panels

تسلييم پاين (Al) و آلومينيوم (LYP160) در دامنه بسيار وسيعی از نسبت لاغری ( $10 \leq \lambda \leq 2200$ ) با فرض شرایط مرزی ساده مورد بررسی قرار گرفتند. نتایج برجسته اين تحقیق عبارتند از:

- صفحات بسيار لاغر در همان بارهای اولیه دچار کمانش می‌شوند. بنابراین عمدۀ ظرفیت باربری آن‌ها در فاز پس از کمانش و بخش محدودی از ظرفیت آن‌ها نیز پس از وقوع اولین تسلييم تا بيشينه مقاومت اتفاق می‌افتد. گسترش تنش‌ها در اين صفحات در طول بارگذاري بسيار محدود است و در بيشينه مقاومت، تنها نواحي محدودی در کنج‌های کششی صفحه به شرایط تسلييم می‌رسد.

- ظرفیت نهایی صفحات لاغر به سه بخش تقسیم می‌شود: ظرفیت الاستیک، ظرفیت پس از کمانش (غیرخطی هندسی) و ظرفیت پس از تسلييم صفحه کمانش کرده (غیرخطی كامل). در نسبت‌های لاغری کوچک‌تر، عمدۀ ظرفیت صفحات لاغر در فاز الاستیک از رفتار تامین می‌شود. در نسبت‌های لاغری بزرگ‌تر، از میزان تاثیرگذاری ظرفیت الاستیک کاسته می‌شود و عمدۀ ظرفیت باربری صفحات توسط رفتار غیرخطی (عمدتاً در فاز غیرخطی هندسی و تا حدی در فاز غیرخطی كامل) تامین می‌شود. گسترش تنش‌ها در اين صفحات در طول بارگذاري نسبتاً محدود است و در بيشينه مقاومت، تنها نوار باریکی در راستای قطر کششی تسلييم می‌شود، در حالی که در سایر نواحي سطح تنش‌ها نسبتاً کوچک‌تر (به طور ميانگين در حدود نصف تنش تسلييم) است.

- عمده باربری صفحات متوسط در محدوده الاستیک از رفتار اتفاق

نتایج، بهترین قابلیت جذب انرژی به ترتیب برای صفحات با مصالح فولاد کربن‌دار (CS)، فولاد با تنش تسلييم پاين (Al) و آلومینيوم (Al) مشاهده می‌شود. صفحات آلومینیومی، به دلیل مدول الاستیستیه کوچک‌تر در مقایسه با فولادها، کمترین قابلیت جذب انرژی را در این محدوده دارا هستند. در بین صفحات فولادی نیز، صفحات فولادی کربن‌دار به دلیل تنش تسلييم بالاتر قابلیت جذب انرژی بالاتری از خود نسبت به فولاد با تنش تسلييم پاين نشان می‌دهند. اگر چه، با افزایش نسبت لاغری، به دلیل کاهش نقش تنش تسلييم و احتمالاً پررنگ‌تر شدن نقش مدول الاستیستیه اولیه و ثانویه مصالح، تدریجاً از میزان اختلاف بین جذب انرژی فولاد کربن‌دار و فولاد با تنش تسلييم پاين کاسته می‌شود. در ادامه، در نسبت‌های لاغری بسيار بزرگ (محدوده بسيار لاغر، VS) عملاً جذب انرژی فولاد با تنش تسلييم پاين (احتمالاً به دلیل توسعه نسبتاً بهتر نواحي تسلييم در سطح ورق) به میزان اندکی از فولاد کربن‌دار پيشی می‌گيرد، در حالی که صفحات آلومینیومی در اين محدوده نیز به علت مدول الاستیستیه کوچک‌تر همچنان حداقل جذب انرژی را دارا هستند.

#### ۴- نتیجه گيري

در پژوهش حاضر، با استفاده از روش المان محدود، تأثير جنس و نسبت لاغری صفحات برشی آلومینیومی و فولادی در خصوصیات باربری و جذب انرژی آن‌ها مورد مطالعه قرار گرفت. در مطالعات انجام شده، بيش از ۱۱۰ صفحه مربع شکل فولادی (شامل فولاد کربن‌دار (CS) و فولاد با تنش

کربن دار (به دلیل مدول الاستیستیه قابل توجه و تنش تسليیم نسبتا بالا)، آلومنیوم (به دلیل تنش تسليیم بسیار بالا، با وجود مدول الاستیستیه کم) و فولاد با تنش تسليیم پایین (به دلیل تنش تسليیم پایین، با وجود مدول الاستیستیه بالا) مشاهده شد.

- در محدوده صفحات لاغر، که رفتار مصالح در طول بارگذاری عمدتا تحت تاثیر پدیده کمانش است، هر دو پارامتر مدول الاستیستیه اولیه و تنش تسليیم در قابلیت جذب انرژی صفحات نقش دارند، لیکن نقش مدول الاستیستیه اولیه مصالح، به ویژه با افزایش نسبت لاغری، برجسته تر می شود. با توجه به نتایج، بالاترین قابلیت جذب انرژی به ترتیب برای فولاد کربن دار (به دلیل مدول الاستیستیه اولیه و تنش تسليیم نسبتا بالا)، فولاد با تنش تسليیم پایین (به دلیل مدول الاستیستیه اولیه بالا، با وجود تنش تسليیم نسبتا پایین) و آلومنیوم (به دلیل مدول الاستیستیه اولیه پایین، با وجود تنش تسليیم بالا) مشاهده شد.

- در محدوده صفحات بسیار لاغر نیز، که رفتار مصالح در طول بارگذاری عمدتا تحت تاثیر پدیده کمانش است، صرفاً مدول الاستیستیه اولیه و مدول الاستیستیه ثانویه مصالح صفحات نقش دارند. بنابراین در این محدوده، بالاترین قابلیت جذب انرژی به ترتیب برای فولاد با تنش تسليیم پایین (به دلیل مدول الاستیستیه اولیه و ثانویه قبل توجه)، فولاد کربن دار (به دلیل مدول الاستیستیه اولیه قابل توجه، با وجود مدول الاستیستیه ثانویه نسبتا کوچک) و آلومنیوم (به دلیل مدول الاستیستیه اولیه و ثانویه نسبتا کوچک) مشاهده شد.

## ۵- فهرست پارامترها

جدول ۶ پارامترهای مورد استفاده در این تحقیق را ارائه می دهد.

می افتد. بسته به جنس صفحه و لاغری، معمولاً در لحظه وقوع کمانش و یا کمی بعد از آن به بیشینه مقاومت خود می رسد و به فاصله کمی قبل یا پس از رسیدن به بیشینه ظرفیت، اولین تسليیم را تجربه می کند. به طور کلی در حد نهایی مقاومت، سطح نسبتا گسترده تری از آن ها در امتداد قطر کششی تسليیم می شود.

- بسته به نسبت لاغری، بخش عمدت ا تقریباً کل باربری صفحات رده ضخیم در فاز الاستیک از رفتار تامین می شود. پس از وقوع اولین تسليیم، به علت توسعه تنش ها در ناحیه سخت شونده از منحنی رفتار مصالح، ظرفیت پس از تسليیم بسیار محدودی تا حد نهایی ظرفیت شان نشان می دهد. با وقوع کمانش (پلاستیک) به حد نهایی ظرفیت می رسد. توسعه تنش ها در آن ها در طول بارگذاری تقریباً یکنواخت است و در لحظه وقوع اولین تسليیم، تقریباً کل سطح آن ها به طور همزمان تسليیم می شود. در ناحیه پس از تسليیم، سطح تنش ها از تنش تسليیم فراتر می رود.

- بسته به جنس مصالح و بدون توجه به نسبت لاغری، صفحات بسیار ضخیم بخش مشخص و قابل توجهی از ظرفیت باربری خود را در ناحیه الاستیک از رفتار تامین می کنند و بنابراین، دارای ظرفیت پس از تسليیم محدودی تا بیشینه مقاومت شان هستند. توسعه تنش ها در آن ها شرایط کاملاً یکنواختی دارد و با وقوع اولین تسليیم، کل سطح صفحه به طور همزمان به شرایط تسليیم می رسد. در ناحیه پس از تسليیم نیز سطح تنش ها در کل سطح صفحه تاحدی از تنش تسليیم فراتر می رود.

- در محدوده صفحات بسیار ضخیم، ضخیم و متوسط، که رفتار مصالح در طول باربری عمدت ا تحت تاثیر وقوع تسليیم است، تنش تسليیم و مدول الاستیستیه مصالح بیشترین نقش را در قابلیت جذب انرژی صفحات دارند. با توجه به نتایج، بالاترین قابلیت جذب انرژی به ترتیب برای فولاد

جدول ۶. فهرست پارامترها

Table 6. Nomenclature

ظرفیت کمانش برشی	$V_{cr}$	ضریب کمانش برشی	$K$	طول پانل	$a$
ظرفیت برشی معادل با وقوع اولین	$V_{fy}$	ضریب پوآسون	$V$	عرض پانل	<b>b</b>
ظرفیت برشی حد خطی (تناسب)	$V_p$	مدول الاستیستیه ثانویه	$E_t$	ضخامت پانل	<b>t</b>
ظرفیت اسمی تسليیم برشی	$V_y$	تنش نرمال حد خطی	$\sigma_p$	نسبت ابعادی	$\varphi$
ظرفیت برشی نهایی	$V_u$	تنش نرمال حد تسليیم	$\sigma_y$	نسبت لاغری	$\lambda$
		تنش برشی حد خطی	$\tau_p$	پارامتر لاغری	$\beta$
		تنش برشی حد تسليیم	$\tau_y$	مدول الاستیستیه	<b>E</b>

## منابع

- [12] M.M. Alinia, M. Dastfan, Cyclic behaviour, deformability and rigidity of stiffened steel shear panels, *Journal of Constructional Steel Research*, 63(4) (2007) 554-563.
- [13] M.M. Alinia, R. Sarraf Shirazi, On the design of stiffeners in steel plate shear walls, *Journal of Constructional Steel Research*, 65(10-11) (2009) 2069-2077.
- [14] Y. Xiao, X.Y. Xue, F.F. Sun, G.Q. Li, Postbuckling shear capacity of high-strength steel plate girders, *Journal of Constructional steel research*, 150 (2018) 475-490.
- [15] H.X. Yuan, X.W. Chen, M. Theofanous, Y.W. Wu, T.Y. Cao, X.X. Du, Shear behaviour and design of diagonally stiffened stainless steel plate girders, *Journal of Constructional Steel Research*, 153 (2019) 588-602.
- [16] T.M. Roberts, S. Sabouri-Ghom, Hysteretic characteristics of unstiffened perforated steel plate shear panels, *Thin-Walled Structures*, 14(2) (1992) 139-151.
- [17] J.W. Berman, M. Bruneau, Experimental investigation of light-gauge steel plate shear walls, *Journal of Structural Engineering*, 131(2) (2005) 259-267.
- [18] S.A.A. Hosseinzadeh, M. Tehranizadeh, Introduction of stiffened large rectangular openings in steel plate shear walls, *Journal of Constructional Steel Research*, 77 (2012) 180-192.
- [19] S.A.A. Hosseinzadeh, M. Tehranizadeh, The wall-frame interaction effect in steel plate shear wall systems, *Journal of Constructional Steel Research*, 98 (2014) 88-99.
- [20] S.A.A. Hosseinzadeh, M. Tehranizadeh, Behavioral characteristics of code designed steel plate shear wall systems, *Journal of Constructional Steel Research*, 99 (2014) 72-84.
- [21] AASHTO, LRFD bridge design specifications, American Association of State Highway and Transportation Officials, Washington DC, 2018.
- [22] S.A.A. Hosseinzadeh, A. Kamraninejad, Effect of slenderness ratio on nonlinear-static/cyclic behavior characteristics of shear panels, *IQBQ*, 17(2) (2017) 93-104.
- [23] M.M. Alinia, S.A.A. Hosseinzadeh, H.R. Habashi, Plastic shear buckling of unstiffened stocky plates, *Journal of Constructional Steel Research*, 65(8-9) (2009) 1631-1643.
- [2] A. Gheitasi, M.M. Alinia, Slenderness classification of unstiffened metal plates under shear loading, *Thin-Walled Structures*, 48(7) (2010) 508-518.
- [3] M. Aydin Komur, Elasto-plastic buckling analysis for perforated steel plates subject to uniform compression, *Mechanics Research Communications*, 38(2) (2011) 117-122.
- [4] D.C. Rai, B.J. Wallace, Aluminium shear-links for enhanced seismic resistance, *Earthquake engineering structural dynamics*, 27(4) (1998) 315-342.
- [5] D.C. Rai, Inelastic cyclic buckling of aluminum shear panels, *Journal of engineering mechanics*, 128(11) (2002) 1233-1237.
- [6] G. De Matteis, F.M. Mazzolani, S. Panico, Pure aluminium shear panels as dissipative devices in moment-resisting steel frames, *Earthquake engineering structural dynamics*, 36(7) (2007) 841-859.
- [7] S. Jiang, Z. Xiong, X. Guo, Z. He, Buckling behaviour of aluminium alloy columns under fire conditions, *Thin-Walled Structures*, 124 (2018) 523-537.
- [8] Z.X. Wang, Y.Q. Wang, J. Sojeong, Y.W. Ouyang, Experimental investigation and parametric analysis on overall buckling behavior of large-section aluminum alloy columns under axial compression, *Thin-Walled Structures*, 122 (2018) 585-596.
- [9] V.T. Doan, B. Liu, Y. Garbatov, W. Wu, C.G. Soares, Strength assessment of aluminium and steel stiffened panels with openings on longitudinal girders, *Ocean Engineering*, 200 (2020) 107047.
- [10] M. Tuna, C. Topkaya, Panel zone deformation demands in steel moment resisting frames, *Journal of Constructional Steel Research*, 110 (2015) 65-75.
- [11] M.M. Alinia, A study into optimization of stiffeners in plates subjected to shear loading, *Thin-walled structures*, 43(5) (2005) 845-860.

engrg, 1998.

- [35] M. Rezai, C.E. Ventura, H.G.L. Prion, Numerical investigation of thin unstiffened steel plate shear walls, in: Proceedings, 12th world conf. on earthquake engineering, 2000.
- [36] S.J. Chen, C. Jhang, Cyclic behavior of low yield point steel shear walls, *Thin-walled structures*, 44(7) (2006) 730-738.
- [37] G. De Matteis, R. Landolfo, F.M. Mazzolani, Seismic response of MR steel frames with low-yield steel shear panels, *Thin-walled structures*, 25(2) (2003) 155-168.
- [38] G. Brando, F. D'Agostino, G. De Matteis, Experimental tests of a new hysteretic damper made of buckling inhibited shear panels, *Materials structures*, 46(12) (2013) 2121-2133.
- [39] H. Valizadeh, M. Sheidaii, H. Showkati, Experimental investigation on cyclic behavior of perforated steel plate shear walls, *Journal of Constructional Steel Research*, 70 (2012) 308-316.
- [40] M.H. Taheri, P. Memarzadeh, Experimental and numerical study of compressive buckling stability of plates with off-center crack, *Theoretical Applied Fracture Mechanics*, 109 (2020) 102706.
- [41] J.W. Hutchinson, Plastic buckling, Vol. 14 Academic Press Inc., 1974.
- [42] G. Gerard, Critical shear stress of plates above the proportional limit, *Journal of Applied Mechanics*, (1948).
- [43] P.P. Bijlaard, Theory and tests on the plastic stability of plates and shells, *Journal of the Aeronautical Sciences*, 16(9) (1949) 529-541.
- [44] E.Z. Stowell, A unified theory of plastic buckling of columns and plates, NACA Technical note 1556, (1948).
- [45] E.Z. Stowell, Critical shear stress of an infinitely long plate in the plastic region, NACA Tech. note 1681, (1948).
- [46] T. Inoue, Analysis of plastic buckling of rectangular steel plates supported along their four edges, *International journal of solids structures*, 31(2) (1994) 219-230.
- [47] T. Inoue, Analysis of plastic buckling of steel plates in

Numerical modelling for buckling analysis of cracked shear panels, *Thin-Walled Structures*, 45(12) (2007) 1058-1067.

- [24] M.M. Alinia, A. Gheitasi, M. Shakiba, Postbuckling and ultimate state of stresses in steel plate girders, *Thin-walled structures*, 49(4) (2011) 455-464.
- [25] R.A. Soares, L. Palermo, L.C. Wrobel, Application of the radial integration method for the buckling analysis of plates with shear deformation, *Engineering Analysis with Boundary Elements*, 118 (2020) 250-264.
- [26] M.M. Alinia, M. Dastfan, Behaviour of thin steel plate shear walls regarding frame members, *Journal of constructional steel research*, 62(7) (2006) 730-738.
- [27] M.M. Alinia, H.R. Habashi, A. Khorram, Nonlinearity in the postbuckling behaviour of thin steel shear panels, *Thin-walled structures*, 47(4) (2009) 412-420.
- [28] M.M. Alinia, M. Shakiba, H.R. Habashi, Shear failure characteristics of steel plate girders, *Thin-Walled Structures*, 47(12) (2009) 1498-1506.
- [29] J.K. Paik, Ultimate strength of perforated steel plates under edge shear loading, *Thin-Walled Structures*, 45(3) (2007) 301-306.
- [30] C. Pellegrino, E. Maiorana, C. Modena, Linear and non-linear behaviour of steel plates with circular and rectangular holes under shear loading, *Thin-Walled Structures*, 47(6-7) (2009) 607-616.
- [31] M.M. Alinia, S.A.A. Hosseinzadeh, H.R. Habashi, Influence of central cracks on buckling and post-buckling behaviour of shear panels, *Thin-Walled Structures*, 45(4) (2007) 422-431.
- [32] M.M. Alinia, S.A.A. Hosseinzadeh, H.R. Habashi, Buckling and post-buckling strength of shear panels degraded by near border cracks, *Journal of Constructional Steel Research*, 64(12) (2008) 1483-1494.
- [33] H.R. Habashi, M.M. Alinia, Characteristics of the wall-frame interaction in steel plate shear walls, *Journal of Constructional Steel Research*, 66(2) (2010) 150-158.
- [34] M. Rezai, C.E. Ventura, H.G.L. Prion, A. Lubbell, Unstiffened steel plate shear walls: Shake table testing, in: Proceedings, sixth US national conf. on earthquake

- [50] Z. Aliarab, S.A.A. Hosseinzadeh, Behavioral characteristics of steel shear panels with different materials and slenderness ratios, Amirkabir Journal of Civil Engineering, 53(4) (2021) 24-24.
- [51] Abaqus, analysis user's manual, version 6.16, Hibbit, Karlsson, Sorenson, Inc., (HKS), 2016.
- [52] S.J. Chen, C.C. Chang, Experimental study of low yield point steel gusset plate connections, Thin-walled structures, 57 (2012) 62-69.
- shear based on the Tresca yield criterion, International journal of solids structures, 33(26) (1996) 3903-3923.
- [48] P. Tuğcu, Effect of axial loading on plastic buckling of long strips under pure shear, Computers structures, 66(2-3) (1998) 155-161.
- [49] C. Zhang, H. Wu, T. Zhu, X. Lin, J. Zhao, Q. Wang, Accurate prediction of shear buckling capacity of low-yield-strength steel considering plastic deformations, Journal of Constructional Steel Research, 172 (2020) 106183.

چگونه به این مقاله ارجاع دهیم

Z. Aliarab, S.A.A Hosseinzadeh, Effect of buckling and yielding phenomena on the behavior of steel and aluminum shear panels, Amirkabir J. Civil Eng., 54(3) (2022) 981-1004.

DOI: [10.22060/ceej.2021.19178.7092](https://doi.org/10.22060/ceej.2021.19178.7092)

